

Příspěvky ke globální approximaci tíhových dat

Josef Sebera

Fakulta stavební ČVUT & Astronomický ústav AV ČR

Seminář VÚGTK na Pecném, Ondřejov

13. 12. 2011

1 Úvod

- Globální approximace
- Rozdělení tématu (2 v 1)

2 Optimalizace výpočtu ALF 2. druhu

- Elipsoidální reprezentace
- Výpočet ALF 2. druhu a Jekeliho renormalizace
- Hypergeometrická funkce a její optimalizace
- Numerické experimenty
- Konverze harmonických parametrů (HP)
- EGM2008
- Shrnutí

3 Lineární model pro MNČ SHA

- Obecný model SHA
- Hotineho rovnice
- Lineární model s Hotineho rovnicemi
- Numerické experimenty
- Shrnutí

4 Doporučená literatura

1 Úvod

- Globální approximace
- Rozdělení tématu (2 v 1)

2 Optimalizace výpočtu ALF 2. druhu

- Elipsoidální reprezentace
- Výpočet ALF 2. druhu a Jekeliho renormalizace
- Hypergeometrická funkce a její optimalizace
- Numerické experimenty
- Konverze harmonických parametrů (HP)
- EGM2008
- Shrnutí

3 Lineární model pro MNČ SHA

- Obecný model SHA
- Hotineho rovnice
- Lineární model s Hotineho rovnicemi
- Numerické experimenty
- Shrnutí

4 Doporučená literatura

1 Úvod

- Globální approximace
- Rozdělení tématu (2 v 1)

2 Optimalizace výpočtu ALF 2. druhu

- Elipsoidální reprezentace
- Výpočet ALF 2. druhu a Jekeliho renormalizace
- Hypergeometrická funkce a její optimalizace
- Numerické experimenty
- Konverze harmonických parametrů (HP)
- EGM2008
- Shrnutí

3 Lineární model pro MNČ SHA

- Obecný model SHA
- Hotineho rovnice
- Lineární model s Hotineho rovnicemi
- Numerické experimenty
- Shrnutí

4 Doporučená literatura

1 Úvod

- Globální approximace
- Rozdělení tématu (2 v 1)

2 Optimalizace výpočtu ALF 2. druhu

- Elipsoidální reprezentace
- Výpočet ALF 2. druhu a Jekeliho renormalizace
- Hypergeometrická funkce a její optimalizace
- Numerické experimenty
- Konverze harmonických parametrů (HP)
- EGM2008
- Shrnutí

3 Lineární model pro MNČ SHA

- Obecný model SHA
- Hotineho rovnice
- Lineární model s Hotineho rovnicemi
- Numerické experimenty
- Shrnutí

4 Doporučená literatura

Co myslíme globální approximací gravitačního pole?

- Jde o zpracování globálně distribuovaných tíhových dat na povrchu Země pomocí vhodného funkčního aparátu
- Jako funční aparát zde budeme uvažovat deriváty Laplaceovy rovnice $\Delta V = 0 \Rightarrow$ sférické a elipsoidální harmonické funkce
- Podle přístupu k řešení zde rozdělíme na přístup obecné a přístup s využitím nějakého zjednodušení (symetrie)

Obecný přístup (ne-grid data)

- Snaží se do problému zavádět minimum zjednodušení např. o geometrickém rozložení dat, referenční soustavě dat, ...
- Přístup obvykle vede na velké soustavy lin. rovnic \Rightarrow MNČ řešení
- Např. družicové modely ITG03, ITG10, EIGEN6s o nízkém $n_{max} \leq 360$

Přístup symetrie (grid data)

- Předpoklad rovnoměrného rozložení dat (ekvidistance) \Rightarrow exaktní kvadratury, FFT
- Předpoklad LNOFe \Rightarrow bez elips. korekcií
- Předpoklad LNOFs \Rightarrow možno použít standardní rovnice (Koop, Rummel, Petrovskaya, ...)
- Možno vyšší n_{max} , např. EGM2008 s 2160(2190).

Co myslíme globální approximací gravitačního pole?

- Jde o zpracování globálně distribuovaných tíhových dat na povrchu Země pomocí vhodného funkčního aparátu
- Jako funční aparát zde budeme uvažovat deriváty Laplaceovy rovnice $\Delta V = 0 \Rightarrow$ sférické a elipsoidální harmonické funkce
- Podle přístupu k řešení zde rozdělíme na přístup obecné a přístup s využitím nějakého zjednodušení (symetrie)

Obecný přístup (ne-grid data)

- Snaží se do problému zavádět minimum zjednodušení např. o geometrickém rozložení dat, referenční soustavě dat, ...
- Přístup obvykle vede na velké soustavy lin. rovnic \Rightarrow MNČ řešení
- Např. družicové modely ITG03, ITG10, EIGEN6s o nízkém $n_{max} \leq 360$

Přístup symetrie (grid data)

- Předpoklad rovnoměrného rozložení dat (ekvidistance) \Rightarrow exaktní kvadratury, FFT
- Předpoklad LNOFe \Rightarrow bez elips. korekcií
- Předpoklad LNOFs \Rightarrow možno použít standardní rovnice (Koop, Rummel, Petrovskaya, ...)
- Možno vyšší n_{max} , např. EGM2008 s 2160(2190).

Co myslíme globální approximací gravitačního pole?

- Jde o zpracování globálně distribuovaných tíhových dat na povrchu Země pomocí vhodného funkčního aparátu
- Jako funční aparát zde budeme uvažovat deriváty Laplaceovy rovnice $\Delta V = 0 \Rightarrow$ sférické a elipsoidální harmonické funkce
- Podle přístupu k řešení zde rozdělíme na přístup obecné a přístup s využitím nějakého zjednodušení (symetrie)

Obecný přístup (ne-grid data)

- Snaží se do problému zavádět minimum zjednodušení např. o geometrickém rozložení dat, referenční soustavě dat, ...
- Přístup obvykle vede na velké soustavy lin. rovnic \Rightarrow MNČ řešení
- Např. družicové modely ITG03, ITG10, EIGEN6s o nízkém $n_{max} \leq 360$

Přístup symetrie (grid data)

- Předpoklad rovnoměrného rozložení dat (ekvidistance) \Rightarrow exaktní kvadratury, FFT
- Předpoklad LNOFe \Rightarrow bez elips. korekcí
- Předpoklad LNOFs \Rightarrow možno použít standardní rovnice (Koop, Rummel, Petrovskaya, ...)
- Možno vyšší n_{max} , např. EGM2008 s 2160(2190).

Co myslíme globální approximací gravitačního pole?

- Jde o zpracování globálně distribuovaných tíhových dat na povrchu Země pomocí vhodného funkčního aparátu
- Jako funční aparát zde budeme uvažovat deriváty Laplaceovy rovnice $\Delta V = 0 \Rightarrow$ sférické a elipsoidální harmonické funkce
- Podle přístupu k řešení zde rozdělíme na přístup obecné a přístup s využitím nějakého zjednodušení (symetrie)

Obecný přístup (ne-grid data)

- Snaží se do problému zavádět minimum zjednodušení např. o geometrickém rozložení dat, referenční soustavě dat, ...
- Přístup obvykle vede na velké soustavy lin. rovnic \Rightarrow MNČ řešení
- Např. družicové modely ITG03, ITG10, EIGEN6s o nízkém $n_{max} \leq 360$

Přístup symetrie (grid data)

- Předpoklad rovnoměrného rozložení dat (ekvidistance) \Rightarrow exaktní kvadratury, FFT
- Předpoklad LNOFe \Rightarrow bez elips. korekcí
- Předpoklad LNOFs \Rightarrow možno použít standardní rovnice (Koop, Rummel, Petrovskaya, ...)
- Možno vyšší n_{max} , např. EGM2008 s 2160(2190).

Co myslíme globální approximací gravitačního pole?

- Jde o zpracování globálně distribuovaných tíhových dat na povrchu Země pomocí vhodného funkčního aparátu
- Jako funční aparát zde budeme uvažovat deriváty Laplaceovy rovnice $\Delta V = 0 \Rightarrow$ sférické a elipsoidální harmonické funkce
- Podle přístupu k řešení zde rozdělíme na přístup obecné a přístup s využitím nějakého zjednodušení (symetrie)

Obecný přístup (ne-grid data)

- Snaží se do problému zavádět minimum zjednodušení např. o geometrickém rozložení dat, referenční soustavě dat, ...
- Přístup obvykle vede na velké soustavy lin. rovnic \Rightarrow MNČ řešení
- Např. družicové modely ITG03, ITG10, EIGEN6s o nízkém $n_{max} \leq 360$

Přístup symetrie (grid data)

- Předpoklad rovnoměrného rozložení dat (ekvidistance) \Rightarrow exaktní kvadratury, FFT
- Předpoklad LNOFe \Rightarrow bez elips. korekcí
- Předpoklad LNOFs \Rightarrow možno použít standardní rovnice (Koop, Rummel, Petrovskaya, ...)
- Možno vyšší n_{max} , např. EGM2008 s 2160(2190).

Co myslíme globální approximací gravitačního pole?

- Jde o zpracování globálně distribuovaných tíhových dat na povrchu Země pomocí vhodného funkčního aparátu
- Jako funční aparát zde budeme uvažovat deriváty Laplaceovy rovnice $\Delta V = 0 \Rightarrow$ sférické a elipsoidální harmonické funkce
- Podle přístupu k řešení zde rozdělíme na přístup obecné a přístup s využitím nějakého zjednodušení (symetrie)

Obecný přístup (ne-grid data)

- Snaží se do problému zavádět minimum zjednodušení např. o geometrickém rozložení dat, referenční soustavě dat, ...
- Přístup obvykle vede na velké soustavy lin. rovnic \Rightarrow MNČ řešení
- Např. družicové modely ITG03, ITG10, EIGEN6s o nízkém $n_{max} \leq 360$

Přístup symetrie (grid data)

- Předpoklad rovnoměrného rozložení dat (ekvidistance) \Rightarrow exaktní kvadratury, FFT
- Předpoklad LNOFe \Rightarrow bez elips. korekcí
- Předpoklad LNOFs \Rightarrow možno použít standardní rovnice (Koop, Rummel, Petrovskaya, ...)
- Možno vyšší n_{max} , např. EGM2008 s 2160(2190).

Co myslíme globální approximací gravitačního pole?

- Jde o zpracování globálně distribuovaných tíhových dat na povrchu Země pomocí vhodného funkčního aparátu
- Jako funční aparát zde budeme uvažovat deriváty Laplaceovy rovnice $\Delta V = 0 \Rightarrow$ sférické a elipsoidální harmonické funkce
- Podle přístupu k řešení zde rozdělíme na přístup obecné a přístup s využitím nějakého zjednodušení (symetrie)

Obecný přístup (ne-grid data)

- Snaží se do problému zavádět minimum zjednodušení např. o geometrickém rozložení dat, referenční soustavě dat, ...
- Přístup obvykle vede na velké soustavy lin. rovnic \Rightarrow MNČ řešení
- Např. družicové modely ITG03, ITG10, EIGEN6s o nízkém $n_{max} \leq 360$

Přístup symetrie (grid data)

- Předpoklad rovnoměrného rozložení dat (ekvidistance) \Rightarrow exaktní kvadratury, FFT
- Předpoklad LNOFe \Rightarrow bez elips. korekcí
- Předpoklad LNOFs \Rightarrow možno použít standardní rovnice (Koop, Rummel, Petrovskaya, ...)
- Možno vyšší n_{max} , např. EGM2008 s 2160(2190).

Co myslíme globální approximací gravitačního pole?

- Jde o zpracování globálně distribuovaných tíhových dat na povrchu Země pomocí vhodného funkčního aparátu
- Jako funční aparát zde budeme uvažovat deriváty Laplaceovy rovnice $\Delta V = 0 \Rightarrow$ sférické a elipsoidální harmonické funkce
- Podle přístupu k řešení zde rozdělíme na přístup obecné a přístup s využitím nějakého zjednodušení (symetrie)

Obecný přístup (ne-grid data)

- Snaží se do problému zavádět minimum zjednodušení např. o geometrickém rozložení dat, referenční soustavě dat, ...
- Přístup obvykle vede na velké soustavy lin. rovnic \Rightarrow MNČ řešení
- Např. družicové modely ITG03, ITG10, EIGEN6s o nízkém $n_{max} \leq 360$

Přístup symetrie (grid data)

- Předpoklad rovnoměrného rozložení dat (ekvidistance) \Rightarrow exaktní kvadratury, FFT
- Předpoklad LNOFe \Rightarrow bez elips. korekcí
- Předpoklad LNOFs \Rightarrow možno použít standardní rovnice (Koop, Rummel, Petrovskaya, ...)
- Možno vyšší n_{max} , např. EGM2008 s 2160(2190).

Co myslíme globální approximací gravitačního pole?

- Jde o zpracování globálně distribuovaných tíhových dat na povrchu Země pomocí vhodného funkčního aparátu
- Jako funční aparát zde budeme uvažovat deriváty Laplaceovy rovnice $\Delta V = 0 \Rightarrow$ sférické a elipsoidální harmonické funkce
- Podle přístupu k řešení zde rozdělíme na přístup obecné a přístup s využitím nějakého zjednodušení (symetrie)

Obecný přístup (ne-grid data)

- Snaží se do problému zavádět minimum zjednodušení např. o geometrickém rozložení dat, referenční soustavě dat, ...
- Přístup obvykle vede na velké soustavy lin. rovnic \Rightarrow MNČ řešení
- Např. družicové modely ITG03, ITG10, EIGEN6s o nízkém $n_{max} \leq 360$

Přístup symetrie (grid data)

- Předpoklad rovnoměrného rozložení dat (ekvidistance) \Rightarrow exaktní kvadratury, FFT
- Předpoklad LNOFe \Rightarrow bez elips. korekcí
- Předpoklad LNOFs \Rightarrow možno použít standardní rovnice (Koop, Rummel, Petrovskaya, ...)
- Možno vyšší n_{max} , např. EGM2008 s 2160(2190).

Co myslíme globální approximací gravitačního pole?

- Jde o zpracování globálně distribuovaných tíhových dat na povrchu Země pomocí vhodného funkčního aparátu
- Jako funční aparát zde budeme uvažovat deriváty Laplaceovy rovnice $\Delta V = 0 \Rightarrow$ sférické a elipsoidální harmonické funkce
- Podle přístupu k řešení zde rozdělíme na přístup obecné a přístup s využitím nějakého zjednodušení (symetrie)

Obecný přístup (ne-grid data)

- Snaží se do problému zavádět minimum zjednodušení např. o geometrickém rozložení dat, referenční soustavě dat, ...
- Přístup obvykle vede na velké soustavy lin. rovnic \Rightarrow MNČ řešení
- Např. družicové modely ITG03, ITG10, EIGEN6s o nízkém $n_{max} \leq 360$

Přístup symetrie (grid data)

- Předpoklad rovnoměrného rozložení dat (ekvidistance) \Rightarrow exaktní kvadratury, FFT
- Předpoklad LNOFe \Rightarrow bez elips. korekcí
- Předpoklad LNOFs \Rightarrow možno použít standardní rovnice (Koop, Rummel, Petrovskaya, ...)
- Možno vyšší n_{max} , např. EGM2008 s 2160(2190).

Co myslíme globální approximací gravitačního pole?

- Jde o zpracování globálně distribuovaných tíhových dat na povrchu Země pomocí vhodného funkčního aparátu
- Jako funční aparát zde budeme uvažovat deriváty Laplaceovy rovnice $\Delta V = 0 \Rightarrow$ sférické a elipsoidální harmonické funkce
- Podle přístupu k řešení zde rozdělíme na přístup obecné a přístup s využitím nějakého zjednodušení (symetrie)

Obecný přístup (ne-grid data)

- Snaží se do problému zavádět minimum zjednodušení např. o geometrickém rozložení dat, referenční soustavě dat, ...
- Přístup obvykle vede na velké soustavy lin. rovnic \Rightarrow MNČ řešení
- Např. družicové modely ITG03, ITG10, EIGEN6s o nízkém $n_{max} \leq 360$

Přístup symetrie (grid data)

- Předpoklad rovnoměrného rozložení dat (ekvidistance) \Rightarrow exaktní kvadratury, FFT
- Předpoklad LNOFe \Rightarrow bez elips. korekcí
- Předpoklad LNOFs \Rightarrow možno použít standardní rovnice (Koop, Rummel, Petrovskaya, ...)
- Možno vyšší n_{max} , např. EGM2008 s 2160(2190).

Náplň přednášky

Pro symetrie: výpočet elipsoidálních funkcí pro EHA

- Elipsoidální reprezentace
- Cíl: optimalizace výpočtu speciálních funkcí (rychlosť, přesnost, jednoduchosť algoritmu) pro $N \leq 3000$ ako např. EGM2008
- Namísto Legendreových funkcí 2. druhu použijeme Jekeliho renormalizaci

Pro obecné řešení: funkcionální model SHA a Hotineho rovnice

- Sférická reprezentace
- Cíl: návrh lineárního modelu pro výpočet $\bar{C}_{n,m}, \bar{S}_{n,m}$ do $N \sim 250$ odpovídající např. modelů z GOCE, GRACE
- Různá data, obecně distribuovaná a různě orientovaná
- Namísto standardních rovnic využijeme Hotineho rovnice

Náplň přednášky

Pro symetrie: výpočet elipsoidálních funkcí pro EHA

- Elipsoidální reprezentace
- Cíl: optimalizace výpočtu speciálních funkcí (rychlosť, přesnost, jednoduchosť algoritmu) pro $N \leq 3000$ ako např. EGM2008
- Namísto Legendreových funkcí 2. druhu použijeme Jekeliho renormalizaci

Pro obecné řešení: funkcionální model SHA a Hotineho rovnice

- Sférická reprezentace
- Cíl: návrh lineárního modelu pro výpočet $\bar{C}_{n,m}, \bar{S}_{n,m}$ do $N \sim 250$ odpovídající např. modelů z GOCE, GRACE
- Různá data, obecně distribuovaná a různě orientovaná
- Namísto standardních rovnic využijeme Hotineho rovnice

Náplň přednášky

Pro symetrie: výpočet elipsoidálních funkcí pro EHA

- Elipsoidální reprezentace
- Cíl: optimalizace výpočtu speciálních funkcí (rychlosť, přesnost, jednoduchosť algoritmu) pro $N \leq 3000$ ako např. EGM2008
- Namísto Legendreových funkcí 2. druhu použijeme Jekeliho renormalizaci

Pro obecné řešení: funkcionální model SHA a Hotineho rovnice

- Sférická reprezentace
- Cíl: návrh lineárního modelu pro výpočet $\bar{C}_{n,m}, \bar{S}_{n,m}$ do $N \sim 250$ odpovídající např. modelů z GOCE, GRACE
- Různá data, obecně distribuovaná a různě orientovaná
- Namísto standardních rovnic využijeme Hotineho rovnice

Náplň přednášky

Pro symetrie: výpočet elipsoidálních funkcí pro EHA

- Elipsoidální reprezentace
- Cíl: optimalizace výpočtu speciálních funkcí (rychlosť, přesnost, jednoduchosť algoritmu) pro $N \leq 3000$ ako např. EGM2008
- Namísto Legendreových funkcí 2. druhu použijeme Jekeliho renormalizaci

Pro obecné řešení: funkcionální model SHA a Hotineho rovnice

- Sférická reprezentace
- Cíl: návrh lineárního modelu pro výpočet $\bar{C}_{n,m}, \bar{S}_{n,m}$ do $N \sim 250$ odpovídající např. modelů z GOCE, GRACE
- Různá data, obecně distribuovaná a různě orientovaná
- Namísto standardních rovnic využijeme Hotineho rovnice

A) Elipsoidální reprezentace - optimalizace výpočtu Legendreových funkcí druhého druhu v rámci Jekeliho renormalizace

Elipsoidální reprezentace V

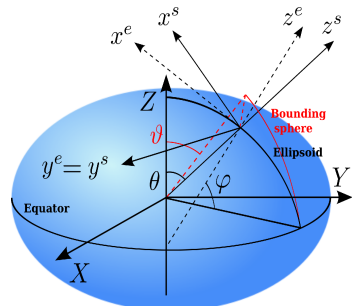
Řešíme $\Delta V = 0$ v elip. souřadnicích $\{u, \vartheta, \lambda\}$, v níž je tato rovnice separabilní. Výsledkem je:

$$V = \frac{GM}{a} \sum_{n,m} \frac{Q_{nm}(\frac{u}{E})}{Q_{nm}(\frac{b}{E})} (\bar{C}_{nm}^e \cos m\lambda + \bar{S}_{nm}^e \sin m\lambda) \bar{P}_{nm}(\cos \vartheta)$$

kde $Q_{nm}(\frac{u}{E})$ jsou ALF druhého druhu. V praxi ovšem „nesbíráme“ V , ale obvykle některé jeho derivace:

$$\begin{aligned} V_x^e &= -\frac{1}{L} V_\vartheta \\ V_y^e &= -\frac{1}{v \sin \vartheta} V_\lambda \\ V_z^e &= \frac{v}{L} V_u \\ V_{xx}^e &= \frac{uv^2}{L^4} V_u + \frac{1}{L^2} V_{\vartheta\vartheta} + \frac{E^2 \cos \vartheta \sin \vartheta}{L^4} V_\vartheta \\ V_{yy}^e &= \frac{u}{L^2} V_u + \frac{1}{v^2 \sin^2 \vartheta} V_{\lambda\lambda} + \frac{\cot \vartheta}{L^2} V_\vartheta \\ V_{zz}^e &= \frac{v^2}{L^2} V_{uu} - \frac{u E^2 \sin^2 \vartheta}{L^4} V_u - \frac{E^2 \cos \vartheta \sin \vartheta}{L^4} V_\vartheta \\ V_{xy}^e &= \frac{1}{v L \sin \vartheta} V_{\vartheta\lambda} - \frac{\cot \vartheta}{v L \sin \vartheta} V_\lambda \\ V_{xz}^e &= \frac{u v}{L^4} V_{\vartheta} - \frac{v}{L^2} V_{u\vartheta} - \frac{v E^2 \cos \vartheta \sin \vartheta}{L^4} V_u \\ V_{yz}^e &= \frac{u}{L v^2 \sin \vartheta} V_\lambda + \frac{1}{L \sin \vartheta} V_{u\lambda} \end{aligned}$$

kde $v = \sqrt{u^2 + E^2}$ and $L = \sqrt{u^2 + E^2 \cos^2 \vartheta}$



EFF - rovníková soustava $\{X, Y, Z\}$

LNOFs - sférická, lokální, severně orientovaná soustava $\{x_s, y_s, z_s\}$

LNOFe - elipsoidická, lokální, severně orientovaná soustava $\{x_e, y_e, z_e\}$

Výpočet přidružených Legendreových funkcí 2. druhu

- Rekurentní vzorce
- Zjednodušení - „perturbative approach“
- Hypergeometrická formulace
 - Počítáme celé hodnoty $Q_{n,m}$
 - Počítáme zlomky $\frac{Q_{nm}(\frac{u}{E})}{Q_{nm}(\frac{b}{E})}$
 - Renormalizujeme $Q_{n,m}$ a pak teprve počítáme (např. Jekeliho renormalizace)

Jekeliho funkce byla původně určena pro konverze mezi sfér. a elipsoidálními Stokesovými parametry, zavádí se v LDR: $(u^2 + E^2) \bar{Q}_{n,m}^2 + 2u\bar{Q}_{n,m}^1 - \left[n(n+1) - \frac{m^2 E^2}{u^2 + E^2} \right] \bar{Q}_{n,m}^0 = 0$, což ovšem můžeme vynásobit libovolnou funkcí (subst. $z = i\frac{u}{E}$):

$$\bar{S}_{n,m}^0 \left(\frac{u}{E} \right) = \frac{\left(\frac{R}{E} \right)^{n+1} i^{n+1} (2n+1)!}{2^n n!} \sqrt{\frac{\epsilon_m}{(2n+1)(n-m)!(n+m)!}} \bar{Q}_{n,m}(z),$$

$$\bar{Q}_{n,m}(z) = (-1)^m \frac{2^n n!(n+m)!}{(2n+1)!} \frac{(z^2 - 1)^{\frac{m}{2}}}{z^{n+m+1}} \underbrace{{}_2F_1 \left(\frac{n+m+2}{2}, \frac{n+m+1}{2}, n+\frac{3}{2}, \frac{1}{z^2} \right)}_{\text{Gauss. hyper. funkce}} \sqrt{\frac{(2n+1)(n-m)!}{\epsilon_m (n+m)!}},$$

$$\bar{S}_{n,m}^0 \left(\frac{u}{E} \right) = \left(1 + \frac{E^2}{u^2} \right)^{\frac{m}{2}} \left(\frac{R}{u} \right)^{n+1} {}_2F_1 \left(\frac{n+m+2}{2}, \frac{n+m+1}{2}, n+\frac{3}{2}, -\frac{E^2}{u^2} \right).$$

Výpočet přidružených Legendreových funkcí 2. druhu

- Rekurentní vzorce
- Zjednodušení - „perturbative approach“

- Hypergeometrická formulace

- Počítáme celé hodnoty $Q_{n,m}$
- Počítáme zlomky $\frac{Q_{nm}(\frac{u}{E})}{Q_{nm}(\frac{b}{E})}$
- Renormalizujeme $Q_{n,m}$ a pak teprve počítáme (např. Jekeliho renormalizace)

Jekeliho funkce byla původně určena pro konverze mezi sfér. a elipsoidálními Stokesovými parametry, zavádí se v LDR: $(u^2 + E^2) \bar{Q}_{n,m}^2 + 2u\bar{Q}_{n,m}^1 - \left[n(n+1) - \frac{m^2 E^2}{u^2 + E^2} \right] \bar{Q}_{n,m}^0 = 0$, což ovšem můžeme vynásobit libovolnou funkcí (subst. $z = i\frac{u}{E}$):

$$\bar{S}_{n,m}^0 \left(\frac{u}{E} \right) = \frac{\left(\frac{R}{E} \right)^{n+1} i^{n+1} (2n+1)!}{2^n n!} \sqrt{\frac{\epsilon_m}{(2n+1)(n-m)!(n+m)!}} \bar{Q}_{n,m}(z),$$

$$\bar{Q}_{n,m}(z) = (-1)^m \frac{2^n n!(n+m)!}{(2n+1)!} \frac{(z^2 - 1)^{\frac{m}{2}}}{z^{n+m+1}} \underbrace{{}_2F_1 \left(\frac{n+m+2}{2}, \frac{n+m+1}{2}, n + \frac{3}{2}, \frac{1}{z^2} \right)}_{\text{Gauss. hyper. funkce}} \sqrt{\frac{(2n+1)(n-m)!}{\epsilon_m (n+m)!}},$$

$$\bar{S}_{n,m}^0 \left(\frac{u}{E} \right) = \left(1 + \frac{E^2}{u^2} \right)^{\frac{m}{2}} \left(\frac{R}{u} \right)^{n+1} {}_2F_1 \left(\frac{n+m+2}{2}, \frac{n+m+1}{2}, n + \frac{3}{2}, -\frac{E^2}{u^2} \right).$$

Výpočet přidružených Legendreových funkcí 2. druhu

- Rekurentní vzorce
- Zjednodušení - „perturbative approach“
- Hypergeometrická formulace

- Počítáme celé hodnoty $Q_{n,m}$
- Počítáme zlomky $\frac{Q_{nm}(\frac{u}{E})}{Q_{nm}(\frac{b}{E})}$
- Renormalizujeme $Q_{n,m}$ a pak teprve počítáme (např. Jekeliho renormalizace)

Jekeliho funkce byla původně určena pro konverze mezi sfér. a elipsoidálními Stokesovými parametry, zavádí se v LDR: $(u^2 + E^2) \bar{Q}_{n,m}^2 + 2u\bar{Q}_{n,m}^1 - \left[n(n+1) - \frac{m^2 E^2}{u^2 + E^2} \right] \bar{Q}_{n,m}^0 = 0$, což ovšem můžeme vynásobit libovolnou funkcí (subst. $z = i\frac{u}{E}$):

$$\bar{S}_{n,m}^0 \left(\frac{u}{E} \right) = \frac{\left(\frac{R}{E} \right)^{n+1} i^{n+1} (2n+1)!}{2^n n!} \sqrt{\frac{\epsilon_m}{(2n+1)(n-m)!(n+m)!}} \bar{Q}_{n,m}(z),$$

$$\bar{Q}_{n,m}(z) = (-1)^m \frac{2^n n!(n+m)!}{(2n+1)!} \frac{(z^2 - 1)^{\frac{m}{2}}}{z^{n+m+1}} \underbrace{{}_2F_1 \left(\frac{n+m+2}{2}, \frac{n+m+1}{2}, n+\frac{3}{2}, \frac{1}{z^2} \right)}_{\text{Gauss. hyper. funkce}} \sqrt{\frac{(2n+1)(n-m)!}{\epsilon_m (n+m)!}},$$

$$\bar{S}_{n,m}^0 \left(\frac{u}{E} \right) = \left(1 + \frac{E^2}{u^2} \right)^{\frac{m}{2}} \left(\frac{R}{u} \right)^{n+1} {}_2F_1 \left(\frac{n+m+2}{2}, \frac{n+m+1}{2}, n+\frac{3}{2}, -\frac{E^2}{u^2} \right).$$

Výpočet přidružených Legendreových funkcí 2. druhu

- Rekurentní vzorce
- Zjednodušení - „perturbative approach“
- Hypergeometrická formulace
 - Počítáme celé hodnoty $Q_{n,m}$
 - Počítáme zlomky $\frac{Q_{nm}(\frac{u}{E})}{Q_{nm}(\frac{b}{E})}$
 - Renormalizujeme $Q_{n,m}$ a pak teprve počítáme (např. Jekeliho renormalizace)

Jekeliho funkce byla původně určena pro konverze mezi sfér. a elipsoidálními Stokesovými parametry, zavádí se v LDR: $(u^2 + E^2) \bar{Q}_{n,m}^2 + 2u\bar{Q}_{n,m}^1 - \left[n(n+1) - \frac{m^2 E^2}{u^2 + E^2} \right] \bar{Q}_{n,m}^0 = 0$, což ovšem můžeme vynásobit libovolnou funkcí (subst. $z = i\frac{u}{E}$):

$$\bar{S}_{n,m}^0 \left(\frac{u}{E} \right) = \frac{\left(\frac{R}{E} \right)^{n+1} i^{n+1} (2n+1)!}{2^n n!} \sqrt{\frac{\epsilon_m}{(2n+1)(n-m)!(n+m)!}} \bar{Q}_{n,m}(z),$$

$$\bar{Q}_{n,m}(z) = (-1)^m \frac{2^n n!(n+m)!}{(2n+1)!} \frac{(z^2 - 1)^{\frac{m}{2}}}{z^{n+m+1}} \underbrace{{}_2F_1 \left(\frac{n+m+2}{2}, \frac{n+m+1}{2}, n+\frac{3}{2}, \frac{1}{z^2} \right)}_{\text{Gauss. hyper. funkce}} \sqrt{\frac{(2n+1)(n-m)!}{\epsilon_m (n+m)!}},$$

$$\bar{S}_{n,m}^0 \left(\frac{u}{E} \right) = \left(1 + \frac{E^2}{u^2} \right)^{\frac{m}{2}} \left(\frac{R}{u} \right)^{n+1} {}_2F_1 \left(\frac{n+m+2}{2}, \frac{n+m+1}{2}, n+\frac{3}{2}, -\frac{E^2}{u^2} \right).$$

Výpočet přidružených Legendreových funkcí 2. druhu

- Rekurentní vzorce
- Zjednodušení - „perturbative approach“
- Hypergeometrická formulace
 - Počítáme celé hodnoty $Q_{n,m}$
 - Počítáme zlomky $\frac{Q_{nm}(\frac{u}{E})}{Q_{nm}(\frac{b}{E})}$
 - Renormalizujeme $Q_{n,m}$ a pak teprve počítáme (např. Jekeliho renormalizace)

Jekeliho funkce byla původně určena pro konverze mezi sfér. a elipsoidálními Stokesovými parametry, zavádí se v LDR: $(u^2 + E^2) \bar{Q}_{n,m}^2 + 2u\bar{Q}_{n,m}^1 - \left[n(n+1) - \frac{m^2 E^2}{u^2 + E^2} \right] \bar{Q}_{n,m}^0 = 0$, což ovšem můžeme vynásobit libovolnou funkcí (subst. $z = i\frac{u}{E}$):

$$\bar{S}_{n,m}^0 \left(\frac{u}{E} \right) = \frac{\left(\frac{R}{E} \right)^{n+1} i^{n+1} (2n+1)!}{2^n n!} \sqrt{\frac{\epsilon_m}{(2n+1)(n-m)!(n+m)!}} \bar{Q}_{n,m}(z),$$

$$\bar{Q}_{n,m}(z) = (-1)^m \frac{2^n n!(n+m)!}{(2n+1)!} \frac{(z^2 - 1)^{\frac{m}{2}}}{z^{n+m+1}} \underbrace{{}_2F_1 \left(\frac{n+m+2}{2}, \frac{n+m+1}{2}, n + \frac{3}{2}, \frac{1}{z^2} \right)}_{\text{Gauss. hyper. funkce}} \sqrt{\frac{(2n+1)(n-m)!}{\epsilon_m (n+m)!}},$$

$$\bar{S}_{n,m}^0 \left(\frac{u}{E} \right) = \left(1 + \frac{E^2}{u^2} \right)^{\frac{m}{2}} \left(\frac{R}{u} \right)^{n+1} {}_2F_1 \left(\frac{n+m+2}{2}, \frac{n+m+1}{2}, n + \frac{3}{2}, -\frac{E^2}{u^2} \right).$$

Výpočet přidružených Legendreových funkcí 2. druhu

- Rekurentní vzorce
- Zjednodušení - „perturbative approach“
- Hypergeometrická formulace
 - Počítáme celé hodnoty $Q_{n,m}$
 - Počítáme zlomky $\frac{Q_{nm}(\frac{u}{E})}{Q_{nm}(\frac{b}{E})}$
 - Renormalizujeme $Q_{n,m}$ a pak teprve počítáme (např. Jekeliho renormalizace)

Jekeliho funkce byla původně určena pro konverze mezi sfér. a elipsoidálními Stokesovými parametry, zavádí se v LDR: $(u^2 + E^2) \bar{Q}_{n,m}^2 + 2u\bar{Q}_{n,m}^1 - \left[n(n+1) - \frac{m^2 E^2}{u^2 + E^2} \right] \bar{Q}_{n,m}^0 = 0$, což ovšem můžeme vynásobit libovolnou funkcí (subst. $z = i\frac{u}{E}$):

$$\bar{S}_{n,m}^0 \left(\frac{u}{E} \right) = \frac{\left(\frac{R}{E} \right)^{n+1} i^{n+1} (2n+1)!}{2^n n!} \sqrt{\frac{\epsilon_m}{(2n+1)(n-m)!(n+m)!}} \bar{Q}_{n,m}(z),$$

$$\bar{Q}_{n,m}(z) = (-1)^m \frac{2^n n!(n+m)!}{(2n+1)!} \frac{(z^2 - 1)^{\frac{m}{2}}}{z^{n+m+1}} \underbrace{{}_2F_1 \left(\frac{n+m+2}{2}, \frac{n+m+1}{2}, n+\frac{3}{2}, \frac{1}{z^2} \right)}_{\text{Gauss. hyper. funkce}} \sqrt{\frac{(2n+1)(n-m)!}{\epsilon_m (n+m)!}},$$

$$\bar{S}_{n,m}^0 \left(\frac{u}{E} \right) = \left(1 + \frac{E^2}{u^2} \right)^{\frac{m}{2}} \left(\frac{R}{u} \right)^{n+1} {}_2F_1 \left(\frac{n+m+2}{2}, \frac{n+m+1}{2}, n+\frac{3}{2}, -\frac{E^2}{u^2} \right).$$

Výpočet přidružených Legendreových funkcí 2. druhu

- Rekurentní vzorce
- Zjednodušení - „perturbative approach“
- Hypergeometrická formulace
 - Počítáme celé hodnoty $Q_{n,m}$
 - Počítáme zlomky $\frac{Q_{nm}(\frac{u}{E})}{Q_{nm}(\frac{b}{E})}$
 - Renormalizujeme $Q_{n,m}$ a pak teprve počítáme (např. Jekeliho renormalizace)

Jekeliho funkce byla původně určena pro konverze mezi sfér. a elipsoidálními Stokesovými parametry, zavádí se v LDR: $(u^2 + E^2) \bar{Q}_{n,m}^2 + 2u\bar{Q}_{n,m}^1 - \left[n(n+1) - \frac{m^2 E^2}{u^2 + E^2} \right] \bar{Q}_{n,m}^0 = 0$, což ovšem můžeme vynásobit libovolnou funkcí (subst. $z = i\frac{u}{E}$):

$$\bar{S}_{n,m}^0 \left(\frac{u}{E} \right) = \frac{\left(\frac{R}{E} \right)^{n+1} i^{n+1} (2n+1)!}{2^n n!} \sqrt{\frac{\epsilon_m}{(2n+1)(n-m)!(n+m)!}} \bar{Q}_{n,m}(z),$$

$$\bar{Q}_{n,m}(z) = (-1)^m \frac{2^n n!(n+m)!}{(2n+1)!} \frac{(z^2 - 1)^{\frac{m}{2}}}{z^{n+m+1}} \underbrace{{}_2F_1 \left(\frac{n+m+2}{2}, \frac{n+m+1}{2}, n+\frac{3}{2}, \frac{1}{z^2} \right)}_{\text{Gauss. hyper. funkce}} \sqrt{\frac{(2n+1)(n-m)!}{\epsilon_m (n+m)!}},$$

$$\bar{S}_{n,m}^0 \left(\frac{u}{E} \right) = \left(1 + \frac{E^2}{u^2} \right)^{\frac{m}{2}} \left(\frac{R}{u} \right)^{n+1} {}_2F_1 \left(\frac{n+m+2}{2}, \frac{n+m+1}{2}, n+\frac{3}{2}, -\frac{E^2}{u^2} \right).$$

Výpočet přidružených Legendreových funkcí 2. druhu

- Rekurentní vzorce
- Zjednodušení - „perturbative approach“
- Hypergeometrická formulace
 - Počítáme celé hodnoty $Q_{n,m}$
 - Počítáme zlomky $\frac{Q_{nm}(\frac{u}{E})}{Q_{nm}(\frac{b}{E})}$
 - Renormalizujeme $Q_{n,m}$ a pak teprve počítáme (např. Jekeliho renormalizace)

Jekeliho funkce byla původně určena pro konverze mezi sfér. a elipsoidálními Stokesovými parametry, zavádí se v LDR: $(u^2 + E^2) \bar{Q}_{n,m}^2 + 2u\bar{Q}_{n,m}^1 - \left[n(n+1) - \frac{m^2 E^2}{u^2 + E^2} \right] \bar{Q}_{n,m}^0 = 0$, což ovšem můžeme vynásobit libovolnou funkcí (subst. $z = i\frac{u}{E}$):

$$\bar{S}_{n,m}^0 \left(\frac{u}{E} \right) = \frac{\left(\frac{R}{E} \right)^{n+1} i^{n+1} (2n+1)!}{2^n n!} \sqrt{\frac{\epsilon_m}{(2n+1)(n-m)!(n+m)!}} \bar{Q}_{n,m}(z),$$

$$\bar{Q}_{n,m}(z) = (-1)^m \frac{2^n n!(n+m)!}{(2n+1)!} \frac{(z^2 - 1)^{\frac{m}{2}}}{z^{n+m+1}} \underbrace{{}_2F_1 \left(\frac{n+m+2}{2}, \frac{n+m+1}{2}, n+\frac{3}{2}, \frac{1}{z^2} \right)}_{\text{Gauss. hyper. funkce}} \sqrt{\frac{(2n+1)(n-m)!}{\epsilon_m (n+m)!}},$$

$$\bar{S}_{n,m}^0 \left(\frac{u}{E} \right) = \left(1 + \frac{E^2}{u^2} \right)^{\frac{m}{2}} \left(\frac{R}{u} \right)^{n+1} {}_2F_1 \left(\frac{n+m+2}{2}, \frac{n+m+1}{2}, n+\frac{3}{2}, -\frac{E^2}{u^2} \right).$$

Výpočet přidružených Legendreových funkcí 2. druhu

- Rekurentní vzorce
- Zjednodušení - „perturbative approach“
- Hypergeometrická formulace
 - Počítáme celé hodnoty $Q_{n,m}$
 - Počítáme zlomky $\frac{Q_{nm}(\frac{u}{E})}{Q_{nm}(\frac{b}{E})}$
 - Renormalizujeme $Q_{n,m}$ a pak teprve počítáme (např. Jekeliho renormalizace)

Jekeliho funkce byla původně určena pro konverze mezi sfér. a elipsoidálními Stokesovými parametry, zavádí se v LDR: $(u^2 + E^2) \bar{Q}_{n,m}^2 + 2u\bar{Q}_{n,m}^1 - \left[n(n+1) - \frac{m^2 E^2}{u^2 + E^2} \right] \bar{Q}_{n,m}^0 = 0$, což ovšem můžeme vynásobit libovolnou funkcí (subst. $z = i\frac{u}{E}$):

$$\bar{S}_{n,m}^0 \left(\frac{u}{E} \right) = \frac{\left(\frac{R}{E} \right)^{n+1} i^{n+1} (2n+1)!}{2^n n!} \sqrt{\frac{\epsilon_m}{(2n+1)(n-m)!(n+m)!}} \bar{Q}_{n,m}(z),$$

$$\bar{Q}_{n,m}(z) = (-1)^m \frac{2^n n!(n+m)!}{(2n+1)!} \frac{(z^2 - 1)^{\frac{m}{2}}}{z^{n+m+1}} \underbrace{ {}_2F_1 \left(\frac{n+m+2}{2}, \frac{n+m+1}{2}, n + \frac{3}{2}, \frac{1}{z^2} \right)}_{\text{Gauss. hyper. funkce}} \sqrt{\frac{(2n+1)(n-m)!}{\epsilon_m (n+m)!}},$$

$$\bar{S}_{n,m}^0 \left(\frac{u}{E} \right) = \left(1 + \frac{E^2}{u^2} \right)^{\frac{m}{2}} \left(\frac{R}{u} \right)^{n+1} {}_2F_1 \left(\frac{n+m+2}{2}, \frac{n+m+1}{2}, n + \frac{3}{2}, -\frac{E^2}{u^2} \right).$$

Výpočet přidružených Legendreových funkcí 2. druhu

- Rekurentní vzorce
- Zjednodušení - „perturbative approach“
- Hypergeometrická formulace
 - Počítáme celé hodnoty $Q_{n,m}$
 - Počítáme zlomky $\frac{Q_{nm}(\frac{u}{E})}{Q_{nm}(\frac{b}{E})}$
 - Renormalizujeme $Q_{n,m}$ a pak teprve počítáme (např. Jekeliho renormalizace)

Jekeliho funkce byla původně určena pro konverze mezi sfér. a elipsoidálními Stokesovými parametry, zavádí se v LDR: $(u^2 + E^2) \bar{Q}_{n,m}^2 + 2u\bar{Q}_{n,m}^1 - \left[n(n+1) - \frac{m^2 E^2}{u^2 + E^2} \right] \bar{Q}_{n,m}^0 = 0$, což ovšem můžeme vynásobit libovolnou funkcí (subst. $z = i\frac{u}{E}$):

$$\bar{S}_{n,m}^0 \left(\frac{u}{E} \right) = \frac{\left(\frac{R}{E} \right)^{n+1} i^{n+1} (2n+1)!}{2^n n!} \sqrt{\frac{\epsilon_m}{(2n+1)(n-m)!(n+m)!}} \bar{Q}_{n,m}(z),$$

$$\bar{Q}_{n,m}(z) = (-1)^m \frac{2^n n!(n+m)!}{(2n+1)!} \frac{(z^2 - 1)^{\frac{m}{2}}}{z^{n+m+1}} \underbrace{{}_2F_1 \left(\frac{n+m+2}{2}, \frac{n+m+1}{2}, n + \frac{3}{2}, \frac{1}{z^2} \right)}_{\text{Gauss. hyper. funkce}} \sqrt{\frac{(2n+1)(n-m)!}{\epsilon_m (n+m)!}},$$

$$\bar{S}_{n,m}^0 \left(\frac{u}{E} \right) = \left(1 + \frac{E^2}{u^2} \right)^{\frac{m}{2}} \left(\frac{R}{u} \right)^{n+1} {}_2F_1 \left(\frac{n+m+2}{2}, \frac{n+m+1}{2}, n + \frac{3}{2}, -\frac{E^2}{u^2} \right).$$

Gaussova hypergeometrická funkce

V předcházející rovnici je použita hypergeometrická funkce ${}_2F_1$, která je definována

$${}_2F_1(\alpha, \beta, \gamma, \delta) = \sum_{k=0}^{\infty} \frac{(\alpha)_k (\beta)_k}{(\gamma)_k} \frac{\delta^k}{k!},$$

kde $(x)_k = \frac{(x+k-1)!}{(x-1)!}$. Výpočetní optimalizace ${}_2F_1$ spočívá v zavedení povolené transformace, která by pomohla tuto nekonečnou řadu dovést rychleji ke (přijatelné) konvergenci \Rightarrow transformace v podstatě mění poměry ve zlomku (např. zvýšení $(\gamma)_k$ urychlí konvergenci). Např. transformace

$${}_2F_1(\alpha, \beta, \gamma, \delta) = (1 - \delta)^{\gamma - \alpha - \beta} {}_2F_1(\gamma - \alpha, \gamma - \beta, \gamma, \delta),$$

poskytuje z původní Jekeliho funkce $\bar{S}_{n,m}$

$${}^* \bar{S}_{n,m}^0 \left(\frac{u}{E} \right) = \left(1 + \frac{E^2}{u^2} \right)^{-\frac{m}{2}} \left(\frac{R}{u} \right)^{n+1} {}_2F_1 \left(\frac{n-m+2}{2}, \frac{n-m+1}{2}, n + \frac{3}{2}, -\frac{E^2}{u^2} \right),$$

kde jsme výrazně snížili α, β .

\Rightarrow Rychlejší výpočty, snížení vlivu zaokrouhlování

\Rightarrow Derivací původní nebo optimalizované funkce $\bar{S}_{n,m}$ podle u získáme $\Rightarrow \frac{\partial \bar{S}_{n,m}}{\partial u}$,
 $\frac{\partial^2 \bar{S}_{n,m}}{\partial u^2} \Rightarrow$ výpočet $V_i, V_{i,j}$.

Gaussova hypergeometrická funkce

V předcházející rovnici je použita hypergeometrická funkce ${}_2F_1$, která je definována

$${}_2F_1(\alpha, \beta, \gamma, \delta) = \sum_{k=0}^{\infty} \frac{(\alpha)_k (\beta)_k}{(\gamma)_k} \frac{\delta^k}{k!},$$

kde $(x)_k = \frac{(x+k-1)!}{(x-1)!}$. Výpočetní optimalizace ${}_2F_1$ spočívá v zavedení povolené transformace, která by pomohla tuto nekonečnou řadu dovést rychleji ke (přijatelné) konvergenci \Rightarrow transformace v podstatě mění poměry ve zlomku (např. zvýšení $(\gamma)_k$ urychlí konvergenci). Např. transformace

$${}_2F_1(\alpha, \beta, \gamma, \delta) = (1 - \delta)^{\gamma - \alpha - \beta} {}_2F_1(\gamma - \alpha, \gamma - \beta, \gamma, \delta),$$

poskytuje z původní Jekeliho funkce $\bar{S}_{n,m}$

$${}^* \bar{S}_{n,m}^0 \left(\frac{u}{E} \right) = \left(1 + \frac{E^2}{u^2} \right)^{-\frac{m}{2}} \left(\frac{R}{u} \right)^{n+1} {}_2F_1 \left(\frac{n-m+2}{2}, \frac{n-m+1}{2}, n + \frac{3}{2}, -\frac{E^2}{u^2} \right),$$

kde jsme výrazně snížili α, β .

\Rightarrow Rychlejší výpočty, snížení vlivu zaokrouhlování

\Rightarrow Derivací původní nebo optimalizované funkce $\bar{S}_{n,m}$ podle u získáme $\Rightarrow \frac{\partial \bar{S}_{n,m}}{\partial u}$,
 $\frac{\partial^2 \bar{S}_{n,m}}{\partial u^2} \Rightarrow$ výpočet $V_i, V_{i,j}$.

Gaussova hypergeometrická funkce

V předcházející rovnici je použita hypergeometrická funkce ${}_2F_1$, která je definována

$${}_2F_1(\alpha, \beta, \gamma, \delta) = \sum_{k=0}^{\infty} \frac{(\alpha)_k (\beta)_k}{(\gamma)_k} \frac{\delta^k}{k!},$$

kde $(x)_k = \frac{(x+k-1)!}{(x-1)!}$. Výpočetní optimalizace ${}_2F_1$ spočívá v zavedení povolené transformace, která by pomohla tuto nekonečnou řadu dovést rychleji ke (přijatelné) konvergenci \Rightarrow transformace v podstatě mění poměry ve zlomku (např. zvýšení $(\gamma)_k$ urychlí konvergenci). Např. transformace

$${}_2F_1(\alpha, \beta, \gamma, \delta) = (1 - \delta)^{\gamma - \alpha - \beta} {}_2F_1(\gamma - \alpha, \gamma - \beta, \gamma, \delta),$$

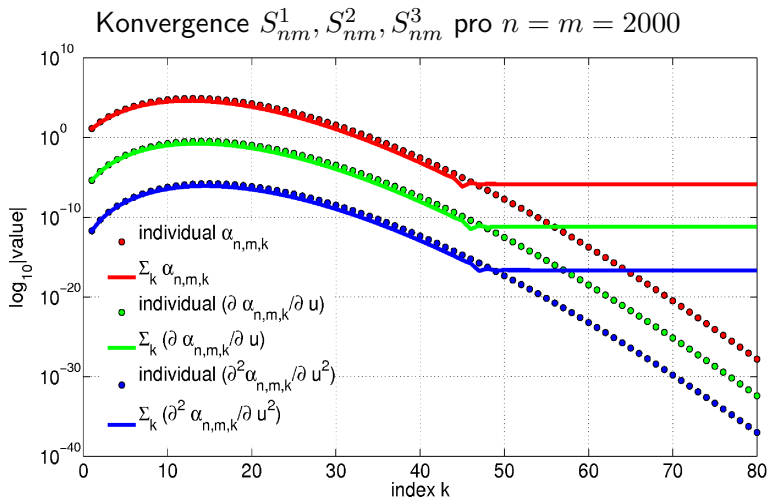
poskytuje z původní Jekeliho funkce $\bar{S}_{n,m}$

$${}^* \bar{S}_{n,m}^0 \left(\frac{u}{E} \right) = \left(1 + \frac{E^2}{u^2} \right)^{-\frac{m}{2}} \left(\frac{R}{u} \right)^{n+1} {}_2F_1 \left(\frac{n-m+2}{2}, \frac{n-m+1}{2}, n + \frac{3}{2}, -\frac{E^2}{u^2} \right),$$

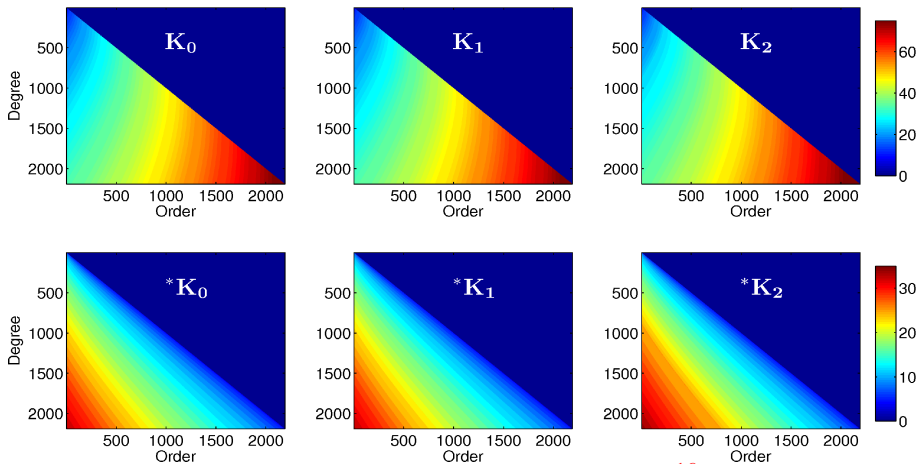
kde jsme výrazně snížili α, β .

\Rightarrow Rychlejší výpočty, snížení vlivu zaokrouhlování

\Rightarrow Derivací původní nebo optimalizované funkce $\bar{S}_{n,m}$ podle u získáme $\Rightarrow \frac{\partial \bar{S}_{n,m}}{\partial u}$,
 $\frac{\partial^2 \bar{S}_{n,m}}{\partial u^2} \Rightarrow$ výpočet $V_i, V_{i,j}$.

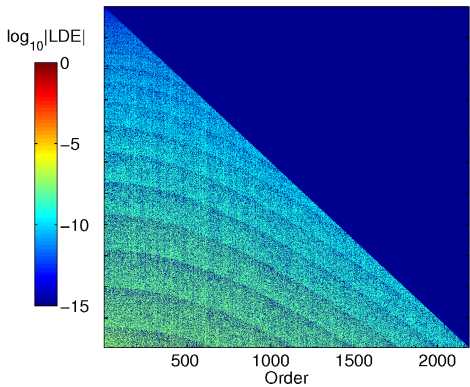
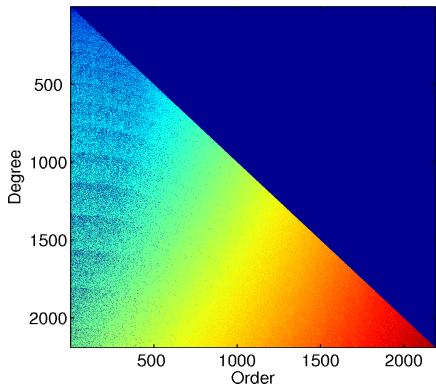


- Pro $|\delta| < 1$ je hypergeometrická řada ${}_2F_1$ konvergentní
- Z obrázku vidno, že není obecně monotónní (což závisí také na n, m).



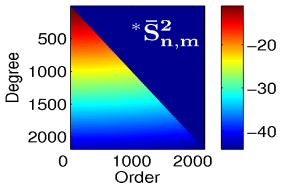
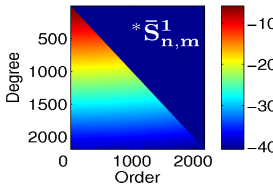
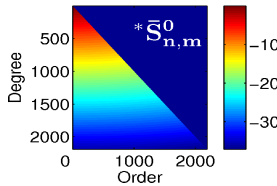
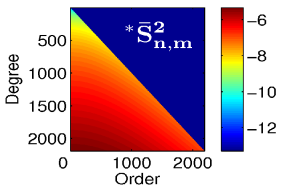
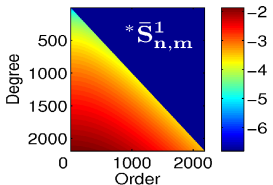
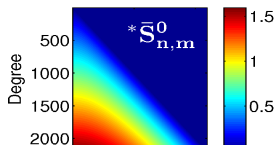
Počet členů pro konvergenci při relativní přesnosti 10^{-16} . Původní (horní řádek) vs. optimalizované (dolní řádek)

$${}_2F_1(\alpha, \beta, \gamma, \delta) = \sum_{k=0}^K \frac{(\alpha)_k (\beta)_k}{(\gamma)_k} \frac{\delta^k}{k!},$$



Dosazení do Legendreovy diferenciální rovnice, vlevo původní vs. vpravo optimalizované

$$(u^2 + E^2) \bar{S}_{n,m}^2 + 2u \bar{S}_{n,m}^1 - \left[n(n+1) - \frac{m^2 E^2}{u^2 + E^2} \right] \bar{S}_{n,m}^0 = 0$$



Jekeliho funkce na povrchu elipsoidu (nahoře) a $h = 250$ km (dole) pro
 $n_{max} = 2190$

⇒ Při tomto n_{max} žádný problém s podtečením/nadtečením

⇒ Ve výškách GOCE jsou funkce téměř závislé jen na n

Ověření konceptu - výpočet totožných funkcionálů s elipsoidálními a sférickými Stokesovými parametry

	T	$ \nabla T $	T_{xx}^e	T_{yy}^e	T_{zz}^e	T_{xy}^e	T_{xz}^e	T_{yz}^e
Max	15.9 (15.9)	15.9 (14.7)	16.0 (14.6)	15.9 (12.9)	15.9 (13.2)	16.0 (13.9)	15.9 (14.6)	16.0 (13.7)
Min	14.0 (11.5)	11.9 (8.3)	8.2 (5.8)	8.6 (4.4)	8.3 (4.6)	9.0 (5.4)	8.2 (5.1)	8.7 (5.0)
RMS	14.9 (12.8)	13.8 (10.4)	12.7 (10.3)	12.8 (9.9)	12.8 (9.2)	12.8 (9.5)	12.7 (9.8)	12.8 (9.0)

Počet shodných cifer mezi SHS ($n_{max} = 2190$) and EHS ($n_{max} = 2190 + 40$) ve střední Evropě ($\varphi \in \langle 44, 55 \rangle$, $\lambda \in \langle 5, 23 \rangle$ na gridu 5x5 min.). Tensor T_{ij} byl nejdříve rotován do LNOFe a pak porovnán. Počet shodných cifer je pro dvě čísla P_1, P_2 dán jako $\log_{10} \left(\frac{|P_1|}{|P_1 - P_2|} \right)$. V závorkách jsou výsledky pro původní (neoptimalizované) Jekeliho funkce.

Hotine-Jekeliho konverze sférických HP a elipsoidálních HP

- Umožňuje převést elipsoidální harmonické parametry na sférické a naopak
- Konverze nezachovává maximální stupeň rozvoje
- Parametry vlevo jsou totiž lineární kombinace parametrů vpravo
- Maximální stupeň se musí empiricky volit tak, aby obsah signálu v obou sadách parametrů zůstal totožný
- např. EGM2008 byl z původních "elipsoidálních" 2160 rozšířen ve stupni na "sférický" rozvoj 2190

Předpis

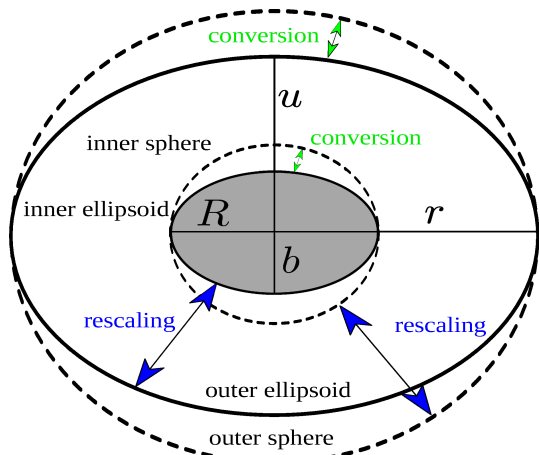
$$v_{n,m}^s \Big|_R = \sum_{p=0}^w \frac{\Lambda_{n,m,p} \left(\frac{E}{R} \right)}{* \bar{S}_{n-2p,m} \left(\frac{b}{E} \right)} v_{n,m}^e \Big|_b$$

kde w je celočíselná část čísla $\frac{n-m}{2}$ a funkce $\Lambda_{n,m,p} \left(\frac{E}{R} \right)$ je definována

$$\begin{aligned} \Lambda_{nmp} = & \frac{(-1)^p (n-p)!(2n-4p+1)!}{p!(n-2p)!(2n-2p+1)!} \left(\frac{E}{R} \right)^{2p} \\ & \times \sqrt{\frac{(2n-4p+1)(n-m)!(n+m)!}{(2n+1)(n-2p-m)!(n-2p+m)!}} \end{aligned}$$

K významu Hotine-Jekeliho konverze harmonických parametrů

(rescaling: $\left(\frac{R}{r}\right)^{n+x}$ nebo $\frac{Q_{nm}(\frac{u}{E})}{Q_{nm}(\frac{b}{E})}$ nebo $\frac{S_{nm}(\frac{u}{E})}{S_{nm}(\frac{b}{E})} \dots$)



Byla harmonická analýza u EGM2008 vskutku plně elipsoidální?

- Nevíme, protože žádná referenční příručka (jako tomu bylo u EGM96) nebyla dosud publikována.
- Z pracovní publikace (Holmes a Pavlis) můžeme vyčíst, že zprostředkující rovnice byla vázána na Δg na elipsoidu pomocí harmonické funkce $r_e \Delta g_e$:

$$r_e \Delta g_e(r_e, \vartheta, \lambda) = \frac{1}{\Delta\sigma} \frac{GM}{a} \sum_{n=0}^N (n-1) \left(\frac{a}{r_e}\right)^n \sum_{m=-n}^n CS_{nm}^e I\bar{Y}_{nm}$$

- kde $CS_{nm}^e = \{\bar{C}_{nm}^e, \bar{S}_{nm}^e, \}$ a $I\bar{Y}_{nm}$ jsou integrály (střední hodnoty) sférických funkcí vzhledem ke geografickému gridu.
- \Rightarrow Tato rovnice pracuje v elipsoidálních souřadnicích (r_e, ϑ, λ)
- \Rightarrow Má však strukturu tíhové anomálie ve sférické approximaci!!!
- \Rightarrow Na elipsoidální data se tak aplikuje forma sférické obs. rovnice
- \Rightarrow Vyřeší patrně problém s geometrií jak (Holmes a Pavlis) numericky ověřují
- \Rightarrow Jde tedy spíše o jakýsi kompromis mezi sférickou a elipsoidální reprezentací

Byla harmonická analýza u EGM2008 vskutku plně elipsoidální?

- Nevíme, protože žádná referenční příručka (jako tomu bylo u EGM96) nebyla dosud publikována.
- Z pracovní publikace (Holmes a Pavlis) můžeme vyčíst, že zprostředkující rovnice byla vázána na Δg na elipsoidu pomocí harmonické funkce $r_e \Delta g_e$:

$$r_e \Delta g_e(r_e, \vartheta, \lambda) = \frac{1}{\Delta \sigma} \frac{GM}{a} \sum_{n=0}^N (n-1) \left(\frac{a}{r_e} \right)^n \sum_{m=-n}^n CS_{nm}^e I\bar{Y}_{nm}$$

- kde $CS_{nm}^e = \{\bar{C}_{nm}^e, \bar{S}_{nm}^e, \}$ a $I\bar{Y}_{nm}$ jsou integrály (střední hodnoty) sférických funkcí vzhledem ke geografickému gridu.
- \Rightarrow Tato rovnice pracuje v elipsoidálních souřadnicích (r_e, ϑ, λ)
- \Rightarrow Má však strukturu tíhové anomálie ve sférické approximaci!!!
- \Rightarrow Na elipsoidální data se tak aplikuje forma sférické obs. rovnice
- \Rightarrow Vyřeší patrně problém s geometrií jak (Holmes a Pavlis) numericky ověřují
- \Rightarrow Jde tedy spíše o jakýsi kompromis mezi sférickou a elipsoidální reprezentací

Byla harmonická analýza u EGM2008 vskutku plně elipsoidální?

- Nevíme, protože žádná referenční příručka (jako tomu bylo u EGM96) nebyla dosud publikována.
- Z pracovní publikace (Holmes a Pavlis) můžeme vyčíst, že zprostředkující rovnice byla vázána na Δg na elipsoidu pomocí harmonické funkce $r_e \Delta g_e$:

$$r_e \Delta g_e(r_e, \vartheta, \lambda) = \frac{1}{\Delta \sigma} \frac{GM}{a} \sum_{n=0}^N (n-1) \left(\frac{a}{r_e} \right)^n \sum_{m=-n}^n CS_{nm}^e I\bar{Y}_{nm}$$

- kde $CS_{nm}^e = \{\bar{C}_{nm}^e, \bar{S}_{nm}^e, \}$ a $I\bar{Y}_{nm}$ jsou integrály (střední hodnoty) sférických funkcí vzhledem ke geografickému gridu.
- \Rightarrow Tato rovnice pracuje v elipsoidálních souřadnicích (r_e, ϑ, λ)
- \Rightarrow Má však strukturu tíhové anomálie ve sférické approximaci!!!
- \Rightarrow Na elipsoidální data se tak aplikuje forma sférické obs. rovnice
- \Rightarrow Vyřeší patrně problém s geometrií jak (Holmes a Pavlis) numericky ověřují
- \Rightarrow Jde tedy spíše o jakýsi kompromis mezi sférickou a elipsoidální reprezentací

Byla harmonická analýza u EGM2008 vskutku plně elipsoidální?

- Nevíme, protože žádná referenční příručka (jako tomu bylo u EGM96) nebyla dosud publikována.
- Z pracovní publikace (Holmes a Pavlis) můžeme vyčíst, že zprostředkující rovnice byla vázána na Δg na elipsoidu pomocí harmonické funkce $r_e \Delta g_e$:

$$r_e \Delta g_e(r_e, \vartheta, \lambda) = \frac{1}{\Delta \sigma} \frac{GM}{a} \sum_{n=0}^N (n-1) \left(\frac{a}{r_e} \right)^n \sum_{m=-n}^n CS_{nm}^e I\bar{Y}_{nm}$$

- kde $CS_{nm}^e = \{\bar{C}_{nm}^e, \bar{S}_{nm}^e\}$ a $I\bar{Y}_{nm}$ jsou integrály (střední hodnoty) sférických funkcí vzhledem ke geografickému gridu.
- \Rightarrow Tato rovnice pracuje v elipsoidálních souřadnicích (r_e, ϑ, λ)
- \Rightarrow Má však strukturu tíhové anomálie ve sférické approximaci!!!
- \Rightarrow Na elipsoidální data se tak aplikuje forma sférické obs. rovnice
- \Rightarrow Vyřeší patrně problém s geometrií jak (Holmes a Pavlis) numericky ověřují
- \Rightarrow Jde tedy spíše o jakýsi kompromis mezi sférickou a elipsoidální reprezentací

Byla harmonická analýza u EGM2008 vskutku plně elipsoidální?

- Nevíme, protože žádná referenční příručka (jako tomu bylo u EGM96) nebyla dosud publikována.
- Z pracovní publikace (Holmes a Pavlis) můžeme vyčíst, že zprostředkující rovnice byla vázána na Δg na elipsoidu pomocí harmonické funkce $r_e \Delta g_e$:

$$r_e \Delta g_e(r_e, \vartheta, \lambda) = \frac{1}{\Delta\sigma} \frac{GM}{a} \sum_{n=0}^N (n-1) \left(\frac{a}{r_e}\right)^n \sum_{m=-n}^n CS_{nm}^e I\bar{Y}_{nm}$$

- kde $CS_{nm}^e = \{\bar{C}_{nm}^e, \bar{S}_{nm}^e, \}$ a $I\bar{Y}_{nm}$ jsou integrály (střední hodnoty) sférických funkcí vzhledem ke geografickému gridu.
 - \Rightarrow Tato rovnice pracuje v elipsoidálních souřadnicích (r_e, ϑ, λ)
 - \Rightarrow Má však strukturu tíhové anomálie ve sférické approximaci!!!
 - \Rightarrow Na elipsoidální data se tak aplikuje forma sférické obs. rovnice
 - \Rightarrow Vyřeší patrně problém s geometrií jak (Holmes a Pavlis) numericky ověřují
 - \Rightarrow Jde tedy spíše o jakýsi kompromis mezi sférickou a elipsoidální reprezentací

Byla harmonická analýza u EGM2008 vskutku plně elipsoidální?

- Nevíme, protože žádná referenční příručka (jako tomu bylo u EGM96) nebyla dosud publikována.
- Z pracovní publikace (Holmes a Pavlis) můžeme vyčíst, že zprostředkující rovnice byla vázána na Δg na elipsoidu pomocí harmonické funkce $r_e \Delta g_e$:

$$r_e \Delta g_e(r_e, \vartheta, \lambda) = \frac{1}{\Delta \sigma} \frac{GM}{a} \sum_{n=0}^N (n-1) \left(\frac{a}{r_e} \right)^n \sum_{m=-n}^n CS_{nm}^e I\bar{Y}_{nm}$$

- kde $CS_{nm}^e = \{\bar{C}_{nm}^e, \bar{S}_{nm}^e, \}$ a $I\bar{Y}_{nm}$ jsou integrály (střední hodnoty) sférických funkcí vzhledem ke geografickému gridu.
- \Rightarrow Tato rovnice pracuje v elipsoidálních souřadnicích (r_e, ϑ, λ)
- \Rightarrow Má však strukturu tíhové anomálie ve sférické approximaci!!!
- \Rightarrow Na elipsoidální data se tak aplikuje forma sférické obs. rovnice
- \Rightarrow Vyřeší patrně problém s geometrií jak (Holmes a Pavlis) numericky ověřují
- \Rightarrow Jde tedy spíše o jakýsi kompromis mezi sférickou a elipsoidální reprezentací

Byla harmonická analýza u EGM2008 vskutku plně elipsoidální?

- Nevíme, protože žádná referenční příručka (jako tomu bylo u EGM96) nebyla dosud publikována.
- Z pracovní publikace (Holmes a Pavlis) můžeme vyčíst, že zprostředkující rovnice byla vázána na Δg na elipsoidu pomocí harmonické funkce $r_e \Delta g_e$:

$$r_e \Delta g_e(r_e, \vartheta, \lambda) = \frac{1}{\Delta\sigma} \frac{GM}{a} \sum_{n=0}^N (n-1) \left(\frac{a}{r_e}\right)^n \sum_{m=-n}^n CS_{nm}^e I\bar{Y}_{nm}$$

- kde $CS_{nm}^e = \{\bar{C}_{nm}^e, \bar{S}_{nm}^e, \}$ a $I\bar{Y}_{nm}$ jsou integrály (střední hodnoty) sférických funkcí vzhledem ke geografickému gridu.
- \Rightarrow Tato rovnice pracuje v elipsoidálních souřadnicích (r_e, ϑ, λ)
- \Rightarrow **Má však strukturu tíhové anomálie ve sférické approximaci!!!**
- \Rightarrow Na elipsoidální data se tak aplikuje forma sférické obs. rovnice
- \Rightarrow Vyřeší patrně problém s geometrií jak (Holmes a Pavlis) numericky ověřují
- \Rightarrow Jde tedy spíše o jakýsi kompromis mezi sférickou a elipsoidální reprezentací

Byla harmonická analýza u EGM2008 vskutku plně elipsoidální?

- Nevíme, protože žádná referenční příručka (jako tomu bylo u EGM96) nebyla dosud publikována.
- Z pracovní publikace (Holmes a Pavlis) můžeme vyčíst, že zprostředkující rovnice byla vázána na Δg na elipsoidu pomocí harmonické funkce $r_e \Delta g_e$:

$$r_e \Delta g_e(r_e, \vartheta, \lambda) = \frac{1}{\Delta \sigma} \frac{GM}{a} \sum_{n=0}^N (n-1) \left(\frac{a}{r_e} \right)^n \sum_{m=-n}^n CS_{nm}^e I\bar{Y}_{nm}$$

- kde $CS_{nm}^e = \{\bar{C}_{nm}^e, \bar{S}_{nm}^e, \}$ a $I\bar{Y}_{nm}$ jsou integrály (střední hodnoty) sférických funkcí vzhledem ke geografickému gridu.
- \Rightarrow Tato rovnice pracuje v elipsoidálních souřadnicích (r_e, ϑ, λ)
- \Rightarrow Má však strukturu tíhové anomálie ve sférické approximaci!!!
- \Rightarrow Na elipsoidální data se tak aplikuje forma sférické obs. rovnice
- \Rightarrow Vyřeší patrně problém s geometrií jak (Holmes a Pavlis) numericky ověřují
- \Rightarrow Jde tedy spíše o jakýsi kompromis mezi sférickou a elipsoidální reprezentací

Byla harmonická analýza u EGM2008 vskutku plně elipsoidální?

- Nevíme, protože žádná referenční příručka (jako tomu bylo u EGM96) nebyla dosud publikována.
- Z pracovní publikace (Holmes a Pavlis) můžeme vyčíst, že zprostředkující rovnice byla vázána na Δg na elipsoidu pomocí harmonické funkce $r_e \Delta g_e$:

$$r_e \Delta g_e(r_e, \vartheta, \lambda) = \frac{1}{\Delta\sigma} \frac{GM}{a} \sum_{n=0}^N (n-1) \left(\frac{a}{r_e}\right)^n \sum_{m=-n}^n CS_{nm}^e I\bar{Y}_{nm}$$

- kde $CS_{nm}^e = \{\bar{C}_{nm}^e, \bar{S}_{nm}^e, \}$ a $I\bar{Y}_{nm}$ jsou integrály (střední hodnoty) sférických funkcí vzhledem ke geografickému gridu.
- \Rightarrow Tato rovnice pracuje v elipsoidálních souřadnicích (r_e, ϑ, λ)
- \Rightarrow Má však strukturu tíhové anomálie ve sférické approximaci!!!
- \Rightarrow Na elipsoidální data se tak aplikuje forma sférické obs. rovnice
- \Rightarrow Vyřeší patrně problém s geometrií jak (Holmes a Pavlis) numericky ověřují
- \Rightarrow Jde tedy spíše o jakýsi kompromis mezi sférickou a elipsoidální reprezentací

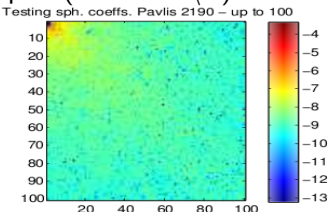
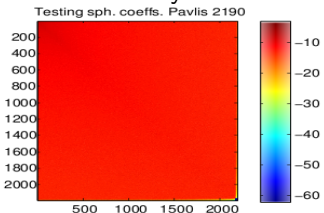
Byla harmonická analýza u EGM2008 vskutku plně elipsoidální?

- Nevíme, protože žádná referenční příručka (jako tomu bylo u EGM96) nebyla dosud publikována.
- Z pracovní publikace (Holmes a Pavlis) můžeme vyčíst, že zprostředkující rovnice byla vázána na Δg na elipsoidu pomocí harmonické funkce $r_e \Delta g_e$:

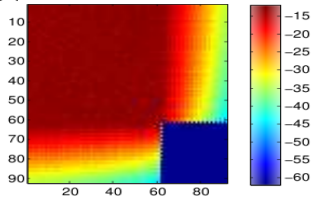
$$r_e \Delta g_e(r_e, \vartheta, \lambda) = \frac{1}{\Delta \sigma} \frac{GM}{a} \sum_{n=0}^N (n-1) \left(\frac{a}{r_e} \right)^n \sum_{m=-n}^n CS_{nm}^e I\bar{Y}_{nm}$$

- kde $CS_{nm}^e = \{\bar{C}_{nm}^e, \bar{S}_{nm}^e, \}$ a $I\bar{Y}_{nm}$ jsou integrály (střední hodnoty) sférických funkcí vzhledem ke geografickému gridu.
- \Rightarrow Tato rovnice pracuje v elipsoidálních souřadnicích (r_e, ϑ, λ)
- \Rightarrow Má však strukturu tíhové anomálie ve sférické approximaci!!!
- \Rightarrow Na elipsoidální data se tak aplikuje forma sférické obs. rovnice
- \Rightarrow Vyřeší patrně problém s geometrií jak (Holmes a Pavlis) numericky ověřují
- \Rightarrow Jde tedy spíše o jakýsi kompromis mezi sférickou a elipsoidální reprezentací

Parametry EGM2008 pod lupou (formát C\S)



Testing sph. coeffs. Pavlis 2190 – from 2100 to 2190



Vlevo nahoře - EGM2008 v log10

Vpravo nahoře - EGM2008 v log10 pro $n \in \langle 0, 100 \rangle$

Vlevo dole - EGM2008 v log10 pro $n \in \langle 2100, 2190 \rangle$... zuby ve stupni po konverzi

Výpočet elipsoidálních funkcí Jekeliho renormalizací

- Založeno na hypergeometrické definici $\bar{Q}_{n,m} \Rightarrow \bar{S}_{n,m}$
- „2 mouchy...“ - funkce pro počítání s EHK a současně pro výpočet konverze koeficientů
- Velmi přesné pro optimalizované funkce (nejhůře 8 platných cifer pro $n_{max} = 2190$)
- Výpočet $\bar{S}_{n,m}^0, \bar{S}_{n,m}^1, \bar{S}_{n,m}^3$ v řádu vteřin s (1.6GHz, 1CPU, Matlab).
- Hypergeometrická formulace \Rightarrow mnoho dalších možností pro optimalizaci.
- Význam EH zejména při EHA a approximaci topografie
- S Hotine-Jekeliho konverzí můžeme aplikovat vhodnější EHA a následně užívat stávající SHS
- Metodický původ jediného v současnosti používaného reprezentanta EHA (EGM2008) je stále nejasný

Výpočet elipsoidálních funkcí Jekeliho renormalizací

- Založeno na hypergeometrické definici $\bar{Q}_{n,m} \Rightarrow \bar{S}_{n,m}$
- „2 mouchy...“ - funkce pro počítání s EHK a současně pro výpočet konverze koeficientů
- Velmi přesné pro optimalizované funkce (nejhůře 8 platných cifer pro $n_{max} = 2190$)
- Výpočet $\bar{S}_{n,m}^0, \bar{S}_{n,m}^1, \bar{S}_{n,m}^3$ v řádu vteřin s (1.6GHz, 1CPU, Matlab).
- Hypergeometrická formulace \Rightarrow mnoho dalších možností pro optimalizaci.
- Význam EH zejména při EHA a approximaci topografie
- S Hotine-Jekeliho konverzí můžeme aplikovat vhodnější EHA a následně užívat stávající SHS
- Metodický původ jediného v současnosti používaného reprezentanta EHA (EGM2008) je stále nejasný

Výpočet elipsoidálních funkcí Jekeliho renormalizací

- Založeno na hypergeometrické definici $\bar{Q}_{n,m} \Rightarrow \bar{S}_{n,m}$
- „2 mouchy...“ - funkce pro počítání s EHK a současně pro výpočet konverze koeficientů
- Velmi přesné pro optimalizované funkce (nejhůře 8 platných cifer pro $n_{max} = 2190$)
- Výpočet $\bar{S}_{n,m}^0, \bar{S}_{n,m}^1, \bar{S}_{n,m}^3$ v řádu vteřin s (1.6GHz, 1CPU, Matlab).
- Hypergeometrická formulace \Rightarrow mnoho dalších možností pro optimalizaci.
- Význam EH zejména při EHA a approximaci topografie
- S Hotine-Jekeliho konverzí můžeme aplikovat vhodnější EHA a následně užívat stávající SHS
- Metodický původ jediného v současnosti používaného reprezentanta EHA (EGM2008) je stále nejasný

Výpočet elipsoidálních funkcí Jekeliho renormalizací

- Založeno na hypergeometrické definici $\bar{Q}_{n,m} \Rightarrow \bar{S}_{n,m}$
- „2 mouchy...“ - funkce pro počítání s EHK a současně pro výpočet konverze koeficientů
- Velmi přesné pro optimalizované funkce (nejhůře 8 platných cifer pro $n_{max} = 2190$)
- Výpočet $\bar{S}_{n,m}^0, \bar{S}_{n,m}^1, \bar{S}_{n,m}^3$ v řádu vteřin s (1.6GHz, 1CPU, Matlab).
- Hypergeometrická formulace \Rightarrow mnoho dalších možností pro optimalizaci.
- Význam EH zejména při EHA a approximaci topografie
- S Hotine-Jekeliho konverzí můžeme aplikovat vhodnější EHA a následně užívat stávající SHS
- Metodický původ jediného v současnosti používaného reprezentanta EHA (EGM2008) je stále nejasný

Výpočet elipsoidálních funkcí Jekeliho renormalizací

- Založeno na hypergeometrické definici $\bar{Q}_{n,m} \Rightarrow \bar{S}_{n,m}$
- „2 mouchy...“ - funkce pro počítání s EHK a současně pro výpočet konverze koeficientů
- Velmi přesné pro optimalizované funkce (nejhůře 8 platných cifer pro $n_{max} = 2190$)
- Výpočet $\bar{S}_{n,m}^0, \bar{S}_{n,m}^1, \bar{S}_{n,m}^3$ v řádu vteřin s (1.6GHz, 1CPU, Matlab).
- Hypergeometrická formulace \Rightarrow mnoho dalších možností pro optimalizaci.
- Význam EH zejména při EHA a approximaci topografie
- S Hotine-Jekeliho konverzí můžeme aplikovat vhodnější EHA a následně užívat stávající SHS
- Metodický původ jediného v současnosti používaného reprezentanta EHA (EGM2008) je stále nejasný

Výpočet elipsoidálních funkcí Jekeliho renormalizací

- Založeno na hypergeometrické definici $\bar{Q}_{n,m} \Rightarrow \bar{S}_{n,m}$
- „2 mouchy...“ - funkce pro počítání s EHK a současně pro výpočet konverze koeficientů
- Velmi přesné pro optimalizované funkce (nejhůře 8 platných cifer pro $n_{max} = 2190$)
- Výpočet $\bar{S}_{n,m}^0, \bar{S}_{n,m}^1, \bar{S}_{n,m}^3$ v řádu vteřin s (1.6GHz, 1CPU, Matlab).
- Hypergeometrická formulace \Rightarrow mnoho dalších možností pro optimalizaci.
- Význam EH zejména při EHA a approximaci topografie
- S Hotine-Jekeliho konverzí můžeme aplikovat vhodnější EHA a následně užívat stávající SHS
- Metodický původ jediného v současnosti používaného reprezentanta EHA (EGM2008) je stále nejasný

Výpočet elipsoidálních funkcí Jekeliho renormalizací

- Založeno na hypergeometrické definici $\bar{Q}_{n,m} \Rightarrow \bar{S}_{n,m}$
- „2 mouchy...“ - funkce pro počítání s EHK a současně pro výpočet konverze koeficientů
- Velmi přesné pro optimalizované funkce (nejhůře 8 platných cifer pro $n_{max} = 2190$)
- Výpočet $\bar{S}_{n,m}^0, \bar{S}_{n,m}^1, \bar{S}_{n,m}^3$ v řádu vteřin s (1.6GHz, 1CPU, Matlab).
- Hypergeometrická formulace \Rightarrow mnoho dalších možností pro optimalizaci.
- Význam EH zejména při EHA a approximaci topografie
- S Hotine-Jekeliho konverzí můžeme aplikovat vhodnější EHA a následně užívat stávající SHS
- Metodický původ jediného v současnosti používaného reprezentanta EHA (EGM2008) je stále nejasný

Výpočet elipsoidálních funkcí Jekeliho renormalizací

- Založeno na hypergeometrické definici $\bar{Q}_{n,m} \Rightarrow \bar{S}_{n,m}$
- „2 mouchy...“ - funkce pro počítání s EHK a současně pro výpočet konverze koeficientů
- Velmi přesné pro optimalizované funkce (nejhůře 8 platných cifer pro $n_{max} = 2190$)
- Výpočet $\bar{S}_{n,m}^0, \bar{S}_{n,m}^1, \bar{S}_{n,m}^3$ v řádu vteřin s (1.6GHz, 1CPU, Matlab).
- Hypergeometrická formulace \Rightarrow mnoho dalších možností pro optimalizaci.
- Význam EH zejména při EHA a approximaci topografie
- S Hotine-Jekeliho konverzí můžeme aplikovat vhodnější EHA a následně užívat stávající SHS
- Metodický původ jediného v současnosti používaného reprezentanta EHA (EGM2008) je stále nejasný

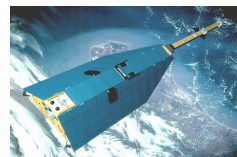
Výpočet elipsoidálních funkcí Jekeliho renormalizací

- Založeno na hypergeometrické definici $\bar{Q}_{n,m} \Rightarrow \bar{S}_{n,m}$
- „2 mouchy...“ - funkce pro počítání s EHK a současně pro výpočet konverze koeficientů
- Velmi přesné pro optimalizované funkce (nejhůře 8 platných cifer pro $n_{max} = 2190$)
- Výpočet $\bar{S}_{n,m}^0, \bar{S}_{n,m}^1, \bar{S}_{n,m}^3$ v řádu vteřin s (1.6GHz, 1CPU, Matlab).
- Hypergeometrická formulace \Rightarrow mnoho dalších možností pro optimalizaci.
- Význam EH zejména při EHA a approximaci topografie
- S Hotine-Jekeliho konverzí můžeme aplikovat vhodnější EHA a následně užívat stávající SHS
- Metodický původ jediného v současnosti používaného reprezentanta EHA (EGM2008) je stále nejasný

B) Koncept lineární modelu pro sférickou harmonickou analýzu MNČ

Charakteristika obecnějšího modelu SHA

- Možnost zpracování heterogenních dat (CHAMP, GRACE, GOCE, gravimetrie?)
- Rozdíl potenciálu, dráha družice \Rightarrow vektor gravitačního zrychlení, gradientometrie $\Rightarrow V, V_i, V_{ij}$
- Nutno uvážit, že tříhová data mají různou orientaci v prostoru
- „Méně je více“ - minimalizace manipulace s originálními daty
- Hardwarové omezení - velké soustavy rovnic, $n_{max} \leq 360$



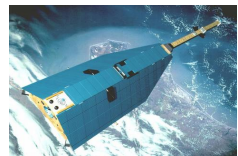
Rovnice pozorování pro lineární model

$$\begin{aligned} V_i(r, \theta, \lambda) &= RV_i^{EFF}(r, \theta, \lambda) \\ \underbrace{V_{ij}(r, \theta, \lambda)}_{\text{měření}} &= \underbrace{R}_{\text{orientace}} \underbrace{V_{ij}^{EFF}(r, \theta, \lambda)}_{\text{rovnice+poloha}} R^T \end{aligned}$$



Charakteristika obecnějšího modelu SHA

- Možnost zpracování heterogenních dat (CHAMP, GRACE, GOCE, gravimetrie?)
- Rozdíl potenciálu, dráha družice \Rightarrow vektor gravitačního zrychlení, gradientometrie $\Rightarrow V, V_i, V_{ij}$
- Nutno uvážit, že tříhová data mají různou orientaci v prostoru
- „Méně je více“ - minimalizace manipulace s originálními daty
- Hardwarové omezení - velké soustavy rovnic, $n_{max} \leq 360$



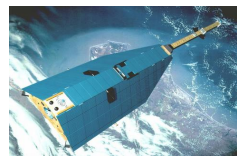
Rovnice pozorování pro lineární model

$$\begin{aligned} V_i(r, \theta, \lambda) &= RV_i^{EFF}(r, \theta, \lambda) \\ \underbrace{V_{ij}(r, \theta, \lambda)}_{\text{měření}} &= \underbrace{R}_{\text{orientace}} \underbrace{V_{ij}^{EFF}(r, \theta, \lambda)}_{\text{rovnice+poloha}} R^T \end{aligned}$$



Charakteristika obecnějšího modelu SHA

- Možnost zpracování heterogenních dat (CHAMP, GRACE, GOCE, gravimetrie?)
- Rozdíl potenciálu, dráha družice \Rightarrow vektor gravitačního zrychlení, gradientometrie $\Rightarrow V, V_i, V_{ij}$
- Nutno uvážit, že tíhová data mají různou orientaci v prostoru
- „Méně je více“ - minimalizace manipulace s originálními daty
- Hardwarové omezení - velké soustavy rovnic, $n_{max} \leq 360$



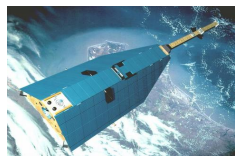
Rovnice pozorování pro lineární model

$$\begin{aligned} V_i(r, \theta, \lambda) &= RV_i^{EFF}(r, \theta, \lambda) \\ \underbrace{V_{ij}(r, \theta, \lambda)}_{\text{měření}} &= \underbrace{R}_{\text{orientace}} \underbrace{V_{ij}^{EFF}(r, \theta, \lambda)}_{\text{rovnice+poloha}} R^T \end{aligned}$$



Charakteristika obecnějšího modelu SHA

- Možnost zpracování heterogenních dat (CHAMP, GRACE, GOCE, gravimetrie?)
- Rozdíl potenciálu, dráha družice \Rightarrow vektor gravitačního zrychlení, gradientometrie $\Rightarrow V, V_i, V_{ij}$
- Nutno uvážit, že tíhová data mají různou orientaci v prostoru
- „Méně je více“ - minimalizace manipulace s originálními daty
- Hardwarové omezení - velké soustavy rovnic, $n_{max} \leq 360$



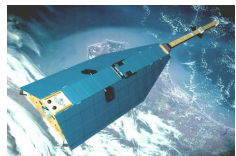
Rovnice pozorování pro lineární model

$$\begin{aligned} V_i(r, \theta, \lambda) &= RV_i^{EFF}(r, \theta, \lambda) \\ \underbrace{V_{ij}(r, \theta, \lambda)}_{\text{měření}} &= \underbrace{R}_{\text{orientace}} \underbrace{V_{ij}^{EFF}(r, \theta, \lambda)}_{\text{rovnice+poloha}} R^T \end{aligned}$$



Charakteristika obecnějšího modelu SHA

- Možnost zpracování heterogenních dat (CHAMP, GRACE, GOCE, gravimetrie?)
- Rozdíl potenciálu, dráha družice \Rightarrow vektor gravitačního zrychlení, gradientometrie $\Rightarrow V, V_i, V_{ij}$
- Nutno uvážit, že tíhová data mají různou orientaci v prostoru
- „Méně je více“ - minimalizace manipulace s originálními daty
- Hardwarové omezení - velké soustavy rovnic, $n_{max} \leq 360$



Rovnice pozorování pro lineární model

$$\begin{aligned} V_i(r, \theta, \lambda) &= RV_i^{EFF}(r, \theta, \lambda) \\ \underbrace{V_{ij}(r, \theta, \lambda)}_{\text{měření}} &= \underbrace{R}_{\text{orientace}} \underbrace{V_{ij}^{EFF}(r, \theta, \lambda)}_{\text{rovnice+poloha}} R^T \end{aligned}$$



Charakteristika obecnějšího modelu SHA

- Možnost zpracování heterogenních dat (CHAMP, GRACE, GOCE, gravimetrie?)
- Rozdíl potenciálu, dráha družice \Rightarrow vektor gravitačního zrychlení, gradientometrie $\Rightarrow V, V_i, V_{ij}$
- Nutno uvážit, že tíhová data mají různou orientaci v prostoru
- „Méně je více“ - minimalizace manipulace s originálními daty
- Hardwarové omezení - velké soustavy rovnic, $n_{max} \leq 360$



Rovnice pozorování pro lineární model

$$\begin{aligned} V_i(r, \theta, \lambda) &= RV_i^{EFF}(r, \theta, \lambda) \\ \underbrace{V_{ij}(r, \theta, \lambda)}_{\text{měření}} &= \underbrace{R}_{\text{orientace}} \underbrace{V_{ij}^{EFF}(r, \theta, \lambda)}_{\text{rovnice+poloha}} R^T \end{aligned}$$



Hotineho rovnice

Opět řešíme $\Delta V = 0$, ale ve sfér. souřadnicích $\{r, \theta, \lambda\}$. Pak standardně dostáváme:

$$V = \frac{GM}{a} \sum_{n,m}^{\infty,n} \left(\frac{a}{r}\right)^{n+1} (\bar{C}_{n,m} \cos m\lambda + \bar{S}_{n,m} \sin m\lambda) \bar{P}_{n,m},$$

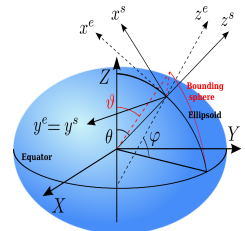
kde $\bar{C}_{nm}, \bar{S}_{nm}$ jsou hledané sférické Stokesovy parametry. Pro kartézské derivace V máme odobně vztahy jako u elipsoidické reprezentace, my zde teď použijeme ty, které odvodil Martin Hotine v soustavě EFF (také Cunningham):

$$V_i = \frac{GM}{a^2} \sum_{n,m}^{\infty,n+1} \left(\frac{a}{r}\right)^{n+2} (\bar{C}_{n+1,m}^i \cos m\lambda + \bar{S}_{n+1,m}^i \sin m\lambda) \bar{P}_{n+1,m}$$

$$V_{ij} = \frac{GM}{a^3} \sum_{n,m}^{\infty,n+2} \left(\frac{a}{r}\right)^{n+3} (\bar{C}_{n+2,m}^{ij} \cos m\lambda + \bar{S}_{n+2,m}^{ij} \sin m\lambda) \bar{P}_{n+2,m}$$

Parametry $\bar{C}_{n+1,m}^i, \bar{S}_{n+1,m}^i, \bar{C}_{n+2,m}^{ij}, \bar{S}_{n+2,m}^{ij}$ nejsou

„klasické“ Stokesovy parametry, ale jejich určité lineární kombinace, tzv. Hotineho koeficienty/parametry.



EFF - $\{X, Y, Z\}$

LNOFs - $\{x_s, y_s, z_s\}$

LNOFe - $\{x_e, y_e, z_e\}$

Hotineho rovnice

Např. Hotineho koeficienty pro V_{xx} vypadají takto:

$$m = 0 \begin{cases} \bar{C}_{n+2,0}^{xx} = -\frac{1}{2}t_0\bar{C}_{n,0} + \frac{1}{4}t_2\bar{C}_{n,0+2} \\ \bar{S}_{n+2,0}^{xx} = 0 \end{cases}$$

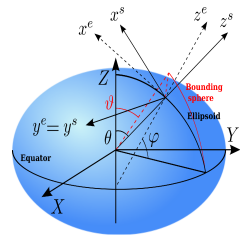
$$m = 1 \begin{cases} \bar{C}_{n+2,1}^{xx} = -\frac{3}{4}t_0\bar{C}_{n,1} + \frac{1}{4}t_2\bar{C}_{n,1+2} \\ \bar{S}_{n+2,1}^{xx} = -\frac{1}{4}t_0\bar{S}_{n,1} + \frac{1}{4}t_2\bar{S}_{n,1+2} \end{cases}$$

$$m = 2 \begin{cases} \bar{C}_{n+2,2}^{xx} = \frac{1}{4}t_{m2}\bar{C}_{n,2-2} - \frac{1}{2}t_0\bar{C}_{n,2} + \frac{1}{4}t_2\bar{C}_{n,2+2} \\ \bar{S}_{n+2,2}^{xx} = -\frac{1}{2}t_0\bar{S}_{n,2} + \frac{1}{4}t_2\bar{S}_{n,2+2} \end{cases}$$

$$m \geq 3 \begin{cases} \bar{C}_{n+2,m}^{xx} = \frac{1}{4}t_{m2}\bar{C}_{n,m-2} - \frac{1}{2}t_0\bar{C}_{n,m} + \frac{1}{4}t_2\bar{C}_{n,m+2} \\ \bar{S}_{n+2,m}^{xx} = \frac{1}{4}t_{m2}\bar{S}_{n,m-2} - \frac{1}{2}t_0\bar{S}_{n,m} + \frac{1}{4}t_2\bar{S}_{n,m+2} \end{cases}$$

kde t_0, t_{m2}, t_2 jsou funkcií pouze n, m (\sim normalizační faktory).

⇒ Hotineho koeficienty jsou lineární funkcií Stokesových (geopotenciálních) parametrů



EFF - $\{X, Y, Z\}$

LNOFs - $\{x_s, y_s, z_s\}$

LNOFe - $\{x_e, y_e, z_e\}$

Rotované observační rovnice

Vyjdeme ze vztahu pro vektor gravitačního zrychlení či Eötvösův tensor v libovolné referenční soustavě:

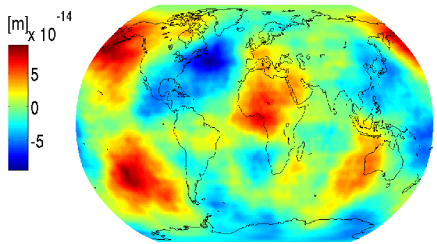
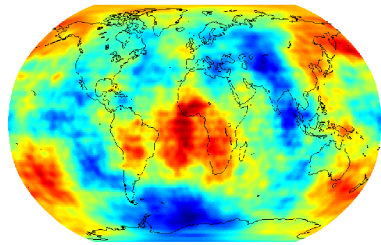
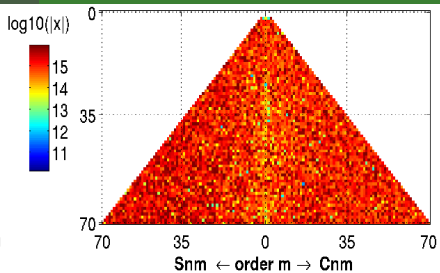
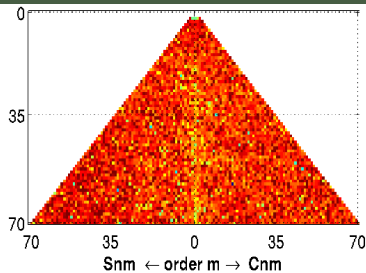
$$\begin{aligned} V_i(r, \theta, \lambda) &= RV_i^{EFF}(r, \theta, \lambda) \\ \underbrace{V_{ij}(r, \theta, \lambda)}_{\text{měření}} &= \underbrace{\underbrace{R}_{\text{orientace}} \underbrace{V_{ij}^{EFF}(r, \theta, \lambda)}_{\text{rovnice+poloha}} R^T} \end{aligned}$$

Dosazením z Hotineho rovnic získáme rotované observační rovnice:

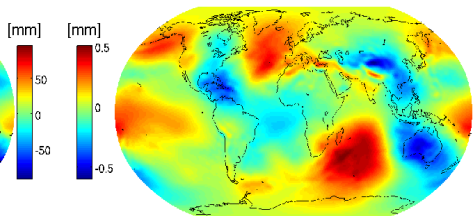
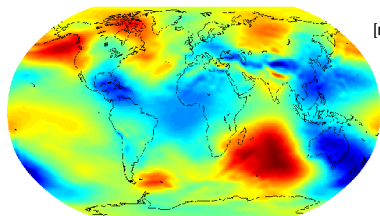
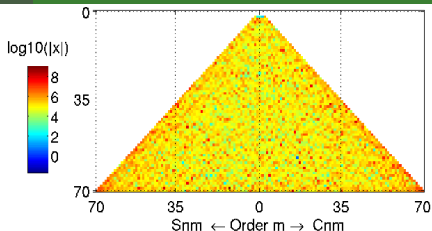
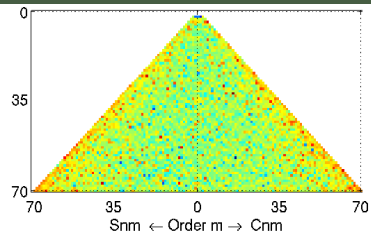
$$\begin{aligned} V_i = \frac{GM}{a^2} \sum_{n=0}^{\infty} \sum_{m=0}^{n+1} \left(\frac{a}{r}\right)^{n+2} \bar{P}_{n+1,m} &\left[\cos m\lambda \left(r_1^i \bar{C}_{n+1,m}^x + r_2^i \bar{C}_{n+1,m}^y + r_3^i \bar{C}_{n+2,m}^z \right) \right. \\ &\left. + \sin m\lambda \left(r_1^i \bar{S}_{n+1,m}^x + r_2^i \bar{S}_{n+1,m}^y + r_3^i \bar{S}_{n+1,m}^z \right) \right], \end{aligned}$$

$$\begin{aligned} V_{ij} = \frac{GM}{a^3} \sum_{n=0}^{\infty} \sum_{m=0}^{n+2} \left(\frac{a}{r}\right)^{n+3} \bar{P}_{n+2,m} &\left[\cos m\lambda \left(s_1^{ij} \bar{C}_{n+2,m}^{xx} + s_2^{ij} \bar{C}_{n+2,m}^{yy} + s_3^{ij} \bar{C}_{n+2,m}^{zz} \right. \right. \\ &+ s_4^{ij} \bar{C}_{n+2,m}^{xy} + s_5^{ij} \bar{C}_{n+2,m}^{xz} + s_6^{ij} \bar{C}_{n+2,m}^{yz} + \sin m\lambda \left(s_1^{ij} \bar{S}_{n+2,m}^{xx} + s_2^{ij} \bar{S}_{n+2,m}^{yy} \right. \\ &\left. \left. + s_3^{ij} \bar{S}_{n+2,m}^{zz} + s_4^{ij} \bar{S}_{n+2,m}^{xy} + s_5^{ij} \bar{S}_{n+2,m}^{xz} + s_6^{ij} \bar{S}_{n+2,m}^{yz} \right) \right]. \end{aligned}$$

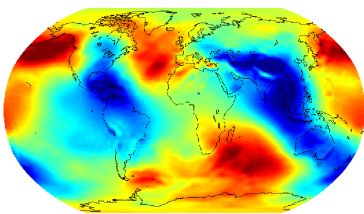
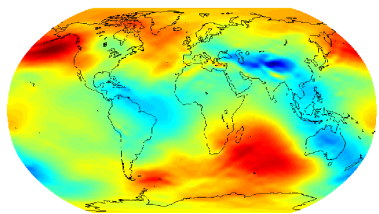
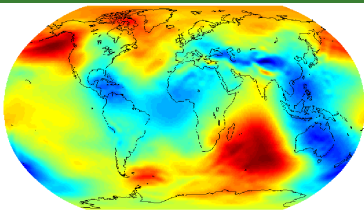
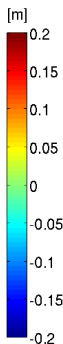
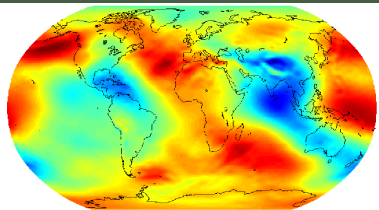
\Rightarrow Zvýší se n_{max} rozvoje, žádné derivace $\bar{P}_{n,m}$ a jednoduchá algebraická struktura



Ověření konceptu pro T_z, T_{zz} , EGM2008, $n_{max} = 70$ (90 tisíc měření, 5000 neznámých)



Test SHA pomocí elipsoidické korekce $\epsilon_h \approx e^2 \sin \varphi_s \cos \varphi_s \frac{1}{r} T_\varphi$. Vlevo $\text{SHA}(\delta g^e = T_z^e)$, vpravo $\text{SHA}(\delta g^s = T_z^e + \epsilon_h)$, EGM2008, $n_{max} = 70$ (90 tisíc měření, 5000 neznámých)



Výpočet vlivu normály na výšku geoidu pro různé kombinace dat (EGM2008, $N = 70$) z EON = SHS ($\text{SHA}^e(l) - \text{SHA}^s(l)$). Horní vlevo $l = \{T_x^e, T_y^e\}$, horní vpravo $l = \{T_{zz}^e\}$, dolní vlevo $l = \{T_{xx}^e, T_{yy}^e\}$ a dolní vlevo $l = \{T_{xy}^e, T_{xz}^e, T_{yz}^e\}$.

Přímá SHA s Hotineho rovnicemi

- Hotineho rovnice pracují v systému EFF
- Algebraicky jednoduché rotované observační rovnice \Rightarrow rychlost
- Heterogenní data V_i, V_{ij} v libovolné orientaci
- Nepotřebuje derivace $\bar{P}_{n,m} \dots$ rychlost, menší vliv zaokrouhllování
- Hotine zavádí tzv. Hotineho koeficienty = lineární kombinace Stokesových parametrů
- Pozor na překlepy v Hotineho „Mathematical Geodesy“ ve vztazích pro V_i, V_{ij} (jen některá vydání mají erratu)

Přímá SHA s Hotineho rovnicemi

- Hotineho rovnice pracují v systému EFF
- Algebraicky jednoduché rotované observační rovnice \Rightarrow rychlosť
- Heterogenní data V_i, V_{ij} v libovolné orientaci
- Nepotřebuje derivace $\bar{P}_{n,m} \dots$ rychlosť, menší vliv zaokrouhllování
- Hotine zavádí tzv. Hotineho koeficienty = lineární kombinace Stokesových parametrů
- Pozor na překlepy v Hotineho „Mathematical Geodesy“ ve vztazích pro V_i, V_{ij} (jen některá vydání mají erratu)

Přímá SHA s Hotineho rovnicemi

- Hotineho rovnice pracují v systému EFF
- Algebraicky jednoduché rotované observační rovnice \Rightarrow rychlosť
- Heterogenní data V_i, V_{ij} v libovolné orientaci
- Nepotřebuje derivace $\bar{P}_{n,m} \dots$ rychlosť, menší vliv zaokrouhllování
- Hotine zavádí tzv. Hotineho koeficienty = lineární kombinace Stokesových parametrů
- Pozor na překlepy v Hotineho „Mathematical Geodesy“ ve vztazích pro V_i, V_{ij} (jen některá vydání mají erratu)

Přímá SHA s Hotineho rovnicemi

- Hotineho rovnice pracují v systému EFF
- Algebraicky jednoduché rotované observační rovnice \Rightarrow rychlosť
- Heterogenní data V_i, V_{ij} v libovolné orientaci
- Nepotřebuje derivace $\bar{P}_{n,m} \dots$ rychlosť, menší vliv zaokrouhllování
- Hotine zavádí tzv. Hotineho koeficienty = lineární kombinace Stokesových parametrů
- Pozor na překlepy v Hotineho „Mathematical Geodesy“ ve vztazích pro V_i, V_{ij} (jen některá vydání mají erratu)

Přímá SHA s Hotineho rovnicemi

- Hotineho rovnice pracují v systému EFF
- Algebraicky jednoduché rotované observační rovnice \Rightarrow rychlosť
- Heterogenní data V_i, V_{ij} v libovolné orientaci
- Nepotřebuje derivace $\bar{P}_{n,m} \dots$ rychlosť, menší vliv zaokrouhllování
- Hotine zavádí tzv. Hotineho koeficienty = lineární kombinace Stokesových parametrů
- Pozor na překlepy v Hotineho „Mathematical Geodesy“ ve vztazích pro V_i, V_{ij} (jen některá vydání mají erratu)

Přímá SHA s Hotineho rovnicemi

- Hotineho rovnice pracují v systému EFF
- Algebraicky jednoduché rotované observační rovnice \Rightarrow rychlosť
- Heterogenní data V_i, V_{ij} v libovolné orientaci
- Nepotřebuje derivace $\bar{P}_{n,m} \dots$ rychlosť, menší vliv zaokrouhllování
- Hotine zavádí tzv. Hotineho koeficienty = lineární kombinace Stokesových parametrů
- Pozor na překlepy v Hotineho „Mathematical Geodesy“ ve vztazích pro V_i, V_{ij} (jen některá vydání mají erratu)

Přímá SHA s Hotineho rovnicemi

- Hotineho rovnice pracují v systému EFF
- Algebraicky jednoduché rotované observační rovnice \Rightarrow rychlosť
- Heterogenní data V_i, V_{ij} v libovolné orientaci
- Nepotřebuje derivace $\bar{P}_{n,m} \dots$ rychlosť, menší vliv zaokrouhllování
- Hotine zavádí tzv. Hotineho koeficienty = lineární kombinace Stokesových parametrů
- Pozor na překlepy v Hotineho „Mathematical Geodesy“ ve vztazích pro V_i, V_{ij} (jen některá vydání mají erratu)

Elipsoidální reprezentace a Jekeliho renormalizace

- Abramowitz, M. and Stegun, I. A. (1964). Handbook of Mathematical Functions with Formulas, Graphs, and Mathematical Tables. New York.
- Gleason, D. M. (1988). Comparing ellipsoidal corrections to the transformation between the geopotential's spherical and ellipsoidal spectrums. *Manuscripta Geodaetica*, 13:114–129.
- Hobson, E. W. (1931). The theory of spherical and ellipsoidal harmonics. Cambridge, Great Britain.
- Holmes, S. A. and Pavlis, N. K. (2006). Some aspects of harmonic analysis of data gridded on the ellipsoid.
- Jekeli, C. (1988). The exact transformation between ellipsoidal and spherical expansions. *Manuscripta Geodaetica*, 13:106–113.
- Maus, S. (2010). An ellipsoidal harmonic representation of Earth's lithospheric magnetic field to degree and order 720. *Geochem. Geophys. Geosyst.*, 11.
- Nesvadba, O. (2009). Numerical problems in evaluating high degree and order associated Legendre functions, EGU.
- Sona, G. (1995). Numerical problems in the computation of ellipsoidal harmonics. *Journal of Geodesy*, 70:117–126. 10.1007/BF00863423.

Hotineho rovnice

- Bettadpur, S. V. (1992). Spherical harmonic synthesis and least squares computations in satellite gravity gradiometry. *Journal of Geodesy*, 66:261–271. 10.1007/BF02033186.
- Bettadpur, S. V. (1995). Hotine's geopotential formulation: revisited. *Journal of Geodesy*, 69:135–142. 10.1007/BF00815482.
- Hotine, M. (1969). Mathematical geodesy. ESSA, U.S. Department of Commerce.
- Jekeli, C. (1981). The downward continuation to the Earth's surface of truncated spherical and ellipsoidal harmonic series of the gravity and height anomalies. Technical Report 323, Ohio State University.
- Petrovskaya, M. and Vershkov, A. (2009). Construction of spherical harmonic series for the potential derivatives of arbitrary orders in the geocentric Earth-fixed reference frame. *Journal of Geodesy*, 84:165–178. 10.1007/s00190-009-0353-y.
- Rapp, R.-H. (1998). Past and future developments in geopotential modeling. In Forsberg, R., Feissel, M., and Dietrich, R., editors, *Geodesy on the Move*, pages 58–78. Springer-Verlag, Berlin New York.

Děkuji za pozornost!